

وزارة التعليم و البحث العلمي
MINISTERE DE L'ENSEIGNEMENT ET DE LA RECHERCHE SCIENTIFIQUE

ECOLE NATIONALE POLYTECHNIQUE

DEPARTEMENT : Génie mécanique

المدرسة الوطنية المتعددة التقنيات
BIBLIOTHEQUE — المكتبة
Ecole Nationale Polytechnique

PROJET DE FIN D'ETUDES

SUJET

ELABORATION D'UN LOGICIEL PERMETTANT DE CALCULER
LES ACTIONS MECANQUES APPLIQUEES A L'EMBIELLAGE
DU MOTEUR A COMBUSTION INTERNE
SYSTEME (BIELLE - BIELLETTE)

Proposé Par :

M. BOUKABACHE

Etudié par :

S. LAHCHER

Dirigé par :

M. BOUKABACHE

PROMOTION : JANVIER . 87



MINISTERE DE L'ENSEIGNEMENT SUPERIEUR
 ECOLE NATIONALE POLYTECHNIQUE
 DEPARTEMENT DE GENIE MECANIQUE
 PROMOTEUR: Monsieur BOUKABACHE Mohamed
 ELEVE INGENIEUR: MONSIEUR LAHCHEB SID ALI

وزارة التعليم العالي
 المدرسة الوطنية المتعددة التقنيات
 فرع: الهندسة الميكانيكية
 الموجه: محمد بوكعباش
 الطالب المهندس: لحيثب سيدي

الموضوع: حساب القوى الميكانيكية ضمن المنظومة ذراع - عمود مرفقي
 بذراع مزدوج .

الملخص: يتمثل هذا المشروع في إعداد برنامج معلوماتي لحساب
 القوى الميكانيكية ضمن المنظومة ذراع - عمودي مرفقي
 بذراع مزدوج . وتعيين نقاط التزيت عن مستوى الارتباطات
 المفصليّة باستعمال الطريقة الشعاعية

Sujet: Elaboration d'un logiciel permettant de calculer les actions
 mécaniques appliquées à l'embiellage du moteur à combustion
 interne système (bielle - biellette).

Resumé: Ce projet consiste en l'élaboration d'un programme informatique
 permettant de calculer les actions mécaniques appliquées à
 l'embiellage d'un moteur à combustion interne système (bielle -
 biellette).
 Ainsi que sur les tourillons du vilebrequin, et la détermination
 des point de graissage au niveau des articulations. En utilisant
 la méthode vectorielle.

Subject: Calculation of the mechanical actions in the crank system of the
 engine (bielle - biellette).

Abstract: A computer programme permitting to determine the mechanical actions
 in the crank- system of an engine in (v) (bielle- biellette)
 system, using the vectorial method.

- Dédicaces -

A ma regrettée mère

A mon père

A ma famille

A mes amis

Je dédie ce modeste travail.

- Remerciements -

Je remercie mon promoteur, monsieur Boukabach M
pour son aide précieuse.

Ainsi que monsieur Madani madani, agent au lycée
technique d'Alger pour m'avoir aidé dans le tirage de la mémoire.

Que tous ceux qui ont de près ou de loin, contribué à l'élaboration
de ce projet, et, à ma formation, trouvent ici l'expression de
ma profonde reconnaissance, et mes plus vifs remerciements

S. Lahcheb



SOMMAIRE

PREAMBULE	1
1. INTRODUCTION	1
2. ETUDE CINEMATIQUE DU MOTEUR	2
2.1 ETUDE CINEMATIQUE DU SYSTEME BIELLE - BIELLETTE	2
2.1.1. Mise en place des repères	3
2.1.2. Formules de passage entre les différents repères	5
2.1.2.1. Passage du repère $(O, \vec{x}_0, \vec{y}_0, \vec{z}_0)$ au repère $(O, \vec{x}_1, \vec{y}_1, \vec{z}_1)$	5
2.1.2.2. Passage du repère $(O, \vec{x}_0, \vec{y}_0, \vec{z}_0)$ au repère $(B, \vec{x}_2, \vec{y}_2, \vec{z}_2)$	5
2.1.2.3. Passage du repère $(O, \vec{x}_0, \vec{y}_0, \vec{z}_0)$ au repère $(O, \vec{x}, \vec{y}, \vec{z})$	6
2.1.2.4. Passage du repère $(O, \vec{x}_0, \vec{y}_0, \vec{z}_0)$ au repère $(D, \vec{x}_3, \vec{y}_3, \vec{z}_3)$	7
2.1.3. Relations cinématiques fondamentales	8
2.1.3.1. Définition de l'angle φ	8
2.1.3.2. Définition de l'angle ψ	9
2.1.3.3. Définition de $\dot{\varphi}$	9
2.1.3.4. Définition de l'angle Ψ	10
2.1.3.5. Définition de $\dot{\Psi}$	11
2.1.3.6. Définition de $\ddot{\Psi}$	11
2.1.4. Etude cinématique du centre de gravité de la bielle	12
2.1.5. Etude cinématique du centre de gravité de la biellette	14
2.1.6. Cinématique du point B	15
2.1.7. Cinématique du point D	16
2.1.8. Cinématique du centre de gravité de la manivelle.	17

3. CALCUL DYNAMIQUE	18
3.1. ETUDE DYNAMIQUE DE LA BIELLE	20
3.1.1. Analyse des actions mécaniques appliquées à la bielle	20
3.1.2. Equations vectorielles fondamentales de la bielle	24
3.1.2.1. Calcul du moment dynamique de la bielle	22
3.1.2.2. Application	23
3.1.2.3. Calcul des moments des forces appliquées à la bielle par rapport à son centre de gravité	25
3.1.4. Equations scalaires de la bielle	27
3.2. ETUDE DYNAMIQUE DU PISTON 1	28
3.2.1. Analyse des actions mécaniques appliquées au piston 1	28
3.2.2. Equations vectorielles fondamentales du piston 1	30
3.2.2.1. Calcul du moment dynamique de la bielle	30
3.2.2.2. Application	
3.2.2.3. Calcul des moments des forces appliquées au piston 1 / C.G.	31
3.2.3. Equations scalaires du piston 1	32
3.3. ETUDE DYNAMIQUE DE LA BIELLETTE	34
3.3.1. Analyse des actions mécaniques appliquées à la bielle	34
3.3.2. Equations vectorielles fondamentales de la bielle	35
3.3.2.1. Calcul du moment dynamique de la bielle	35
3.3.2.2. Calcul des moments des forces appliquées à la bielle / G ₂	36
3.3.3. Equations scalaires de la bielle.	38

3.4. ETUDE DYNAMIQUE DU PISTON 2	39
3.4.1. Analyse des actions mécaniques appliquées au piston 2	39
3.4.2. Equations vectorielles fondamentales du piston 2	41
3.4.2.1. Calcul du moment dynamique du piston 2	41
3.4.2.2. Calcul des moments des forces appliquées au piston 2/c.g	41
3.4.3. Equations scalaires du piston 2	44
3.5. ETUDE DYNAMIQUE DE LA MANIVELLE	45
3.5.1. Analyse des actions mécaniques appliquées à la manivelle	45
3.5.2. Equations vectorielles fondamentales de la manivelle	46
3.5.2.1. Calcul du moment dynamique de la manivelle	47
3.5.2.2. Calcul des moments des forces appliquées à la manivelle /c.g	47
3.5.2.3 Equations scalaires de la manivelle	49
4. DETERMINATION DES ACTIONS MECANQUES APPLIQUEES A L'EMBIELLAGE	50
4.1 Determination de YB	53
4.2 Determination de XD	53
4.3 Determination XC	57
4.4 Determination de YC	57
4.5 Determination de YA	57
4.6 Determination de XF	57
4.7 Determination de Ye	57
4.8 Determination de XB	58
4.9 Determination de XA	58
4.10 Determination de Xe	58
4.11. Determination de XE	58

5. DETERMINATION DES CARACTERISTIQUES PHYSIQUES DE LA BIELLE	61
5.1. Masse de la bielle	61
5.2. Position du centre de gravité G_1	62
5.3. Moment d'inertie I_{z_1} de la bielle	63
6. ETUDE THERMODYNAMIQUE DU MOTEUR	65
6.1. Cycle quasi-réel	65
6.2. Différentes phases du cycle quasi-réel	65
6.3. Expression de la pression pendant les phases du cycle	66
a. admission	66
b. compression	67
c. combustion	67
d. détente	68
e. échappement	68
6.43. Récapitulatif de la pression en fonction de θ	72
7. DETERMINATION DU DEPHASAGE DANS L'ALLUMAGE ENTRE LES PISTON 1 et 2	73
7.1. Ordre d'allumage d'un moteur VB ; FB L413	73
7.2. Numérotation des cylindres	73
7.3. Détermination du déphasage δ .	73
8. ORGANIGRAMME	74
9. ANNEXE	75
10. CONCLUSION	85'
BIBLIOGRAPHIE	88

TABLE DES FIGURES

2.1.	Mécanisme bielle - bielle	2
2.2.	Mise en place des repères	3
2.3.	Passage du repère $(O, \vec{x}_0, \vec{y}_0, \vec{z}_0)$ au repère $(O, \vec{x}_1, \vec{y}_1, \vec{z}_1)$	5
2.4.	Passage du repère $(O, \vec{x}_0, \vec{y}_0, \vec{z}_0)$ au repère $(O, \vec{x}_2, \vec{y}_2, \vec{z}_2)$	5
2.5.	Passage du repère $(O, \vec{x}_0, \vec{y}_0, \vec{z}_0)$ au repère $(O, \vec{x}, \vec{y}, \vec{z})$	6
2.6.	Passage du repère $(O, \vec{x}_0, \vec{y}_0, \vec{z}_0)$ au repère $(D, \vec{x}_3, \vec{y}_3, \vec{z}_3)$	7
3.0.	Représentation des actions mécaniques appliquées à l'embiellage du vilebrequin	19
3.1.	Représentation des actions mécaniques appliquées à la bielle	20
3.2.	Définition du tenseur d'inertie	23
3.3.	Application des actions mécaniques appliquées au piston 1	28
3.4.	Représentation des actions mécaniques appliquées à la liette	34
3.5.	Analyse des actions appliquées au piston 2	39
3.6.	Représentation des actions mécaniques appliquées à la manivelle	45
5.1.	Plan de la tête de lielle	62
5.2.	Plan du pied de lielle	62
5.3.	Position du centre de gravité de la lielle	62
5.4.	Mesure du moment d'inertie par pendulage	63
6.1.	Cycle quasi-réel	65
6.2.	déplacement piston 1	69
6.3.	déplacement piston 2	71

PREAMBULE

Cette étude rentre dans le cadre d'un travail globale qui a pour but de déterminer l'outil nécessaire pour analyser, optimiser et contrôler le comportement vibratoire des moteurs à combustions internes ainsi que leur récepteurs.

1. INTRODUCTION

Avant l'apogée que connaît actuellement le moteur à réaction, les motoristes d'aviation concentraient leurs efforts vers la recherche de la puissance en augmentant le nombre de cylindres en se gardant de construire des moteurs encombrants et trop lourds.

Et ceci a vu naître le moteur en étoile, qui est une extension du moteur système bielle + biellelette qui est le sujet de notre présente étude

Le sujet comprend l'étude dynamique de l'embriellage, constituant le moteur système bielle + biellelette, et la détermination des actions mécaniques appliquées aux différents organes composants l'embriellage.

Ainsi que l'élaboration d'un programme informatique pour le calcul de ces actions et leurs tracés sur les différents repères.

2. ETUDE CINEMATIQUE DU MOTEUR

Pour pouvoir calculer les actions mécaniques appliquées aux différents organes constituant l'embellage de ce type de moteur, il importe de connaître les déplacements, et, les accélérations des principaux organes mobiles.

2.1 ETUDE CINEMATIQUE DU SYSTEME BIELLE - BIELLETTE.

L'étude cinématique du système est nécessaire à l'étude dynamique du moteur.

Elle nous permet de connaître le déplacement, la vitesse et l'accélération de chacun des centres de gravité des organes mobiles de l'embellage de ce type de moteur.

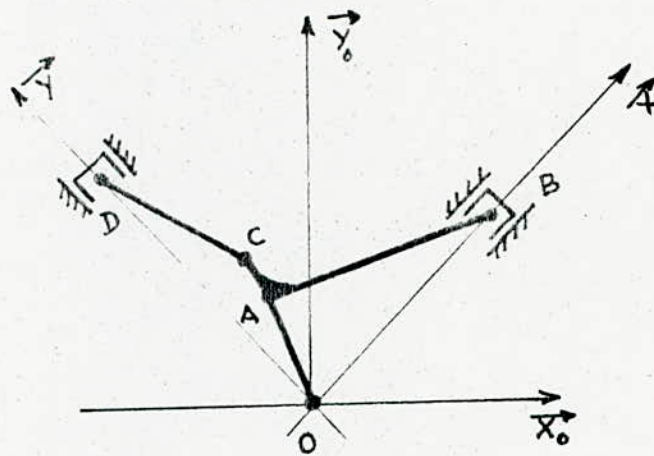


fig:2.1 Mécanisme bielle + bielle.

Noter que les points A, B, C appartiennent à la bielle, DC représente la bielle, OA représente la manivelle.

2.1.1 MISE EN PLACE DES REPERES

L'étude cinématique du système bielle + biellette nécessite la mise en place de trois repères mobiles et deux repères fixes, qui sont représentés sur la figure ci dessous.

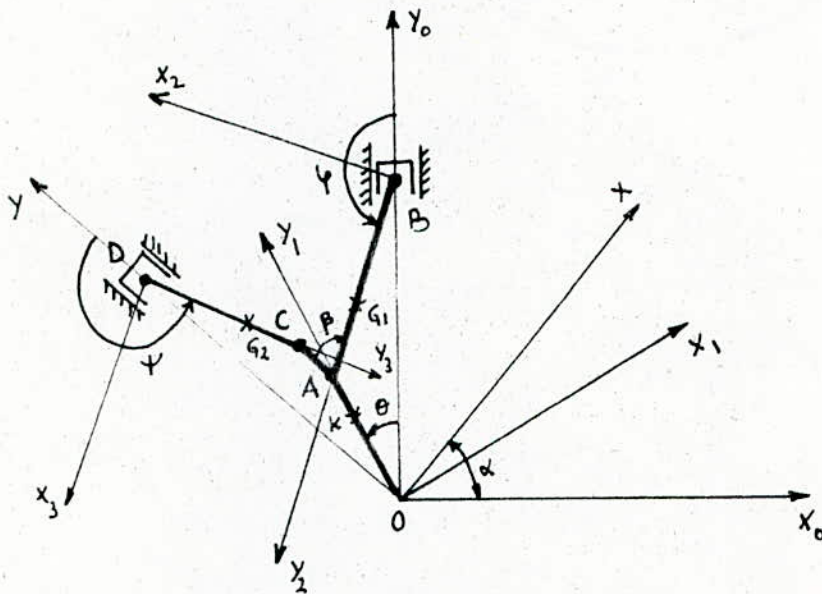


fig: 2.2 Mise en place des repères

Données géométriques :

Manivelle : $OA = R$ (rayon de la manivelle) ; $OK = r$ (distance du C.G de O)

Bielle : $AB = L_1$ (entraxe) ; $BG_1 = L_{G1}$ (distance C.G - pied de bielle)
 $AC = L_3$ (distance point d'articulation bielle - axe de tête de bielle)

Biellette $CD = L_2$ (entraxe) ; $DG_2 = L_{G2}$ (distance C.G - pied de bielle)

θ : Angle de rotation de la manivelle

φ : Angle de rotation de la bielle par rapport à l'axe \vec{Y}_0

ψ : Angle de rotation de la bielle par rapport à l'axe \vec{Y}

α : Angle du V

β : Angle (\vec{AB}, \vec{AC}) caractéristique de bielle.

Dans notre étude on suppose que la vitesse de rotation du moteur reste constante.

$$\omega = \frac{d\theta}{dt} = \text{cte} \quad (1)$$

Alors $\frac{d\omega}{dt} = \ddot{\theta} = 0$ l'accélération angulaire du moteur est tout le temps nulle. (2)

- $(O, \vec{x}_0, \vec{y}_0, \vec{z}_0)$ est le repère fixe portant le déplacement du piston 1.

O : centre de l'arbre du vilebrequin

\vec{y}_0 : porte l'axe du piston 1

\vec{z}_0 : porte l'axe des tourillons du vilebrequin

- $(O, \vec{x}, \vec{y}, \vec{z})$ est le repère fixe portant le déplacement du piston 2

\vec{y} : l'axe du piston 2

- $(O, \vec{x}_1, \vec{y}_1, \vec{z}_1)$ est le repère mobile lié au vilebrequin

\vec{y}_1 : porte la manivelle

On définit le vecteur rotation instantané de la manivelle par rapport au repère fixe $(O, \vec{x}_0, \vec{y}_0, \vec{z}_0)$ par :

$$\vec{\Omega}(m/0) = \dot{\theta} \cdot \vec{z}_0 \quad (3)$$

- $(B, \vec{x}_2, \vec{y}_2, \vec{z}_2)$ repère lié à la bielle

\vec{y}_2 : Porte la bielle

B : Centre du pied de la bielle

ψ : Angle de rotation de la bielle / axe \vec{y}_0

$$\psi = (\vec{y}_0, \vec{BA})$$

De même on définit le vecteur rotation de la bielle par rapport au repère fixe $(O, \vec{x}_0, \vec{y}_0, \vec{z}_0)$

$$\vec{\Omega}(b_1/o) = \dot{\psi} \cdot \vec{z}_0 \quad (4)$$

$$\text{ou} \quad \dot{\psi} = d\psi/dt$$

- $(D, \vec{x}_3, \vec{y}_3, \vec{z}_3)$ repère mobile lié à la bielle

\vec{y}_3 : Porte la bielle

D : Centre du pied de la bielle

ψ : Angle de rotation de la bielle / axe \vec{y}_1

$$\psi = (\vec{y}_1, \vec{DC})$$

De même on définit le vecteur rotation de la bielle par rapport au repère fixe $(O, \vec{x}_1, \vec{y}_1, \vec{z}_1)$

$$\vec{\Omega}(b_2/) = \dot{\psi} \cdot \vec{z}_1$$

$$\text{ou} \quad \dot{\psi} = \frac{d\psi}{dt}$$

Et comme le repère $(O, \vec{x}_1, \vec{y}_1, \vec{z}_1)$ n'a aucun déplacement par rapport au repère fixe $(O, \vec{x}_0, \vec{y}_0, \vec{z}_0)$ Alors :

$$\vec{\Omega}(b_2/o) = \dot{\psi} \cdot \vec{z}_0 \quad (5)$$

2.1.2 FORMULES DE PASSAGE ENTRE LES DIFFERENTS REPERES.

2.1.2.1 Passage du repère $(O, \vec{x}_0, \vec{y}_0, \vec{z}_0)$ au repère $(O, \vec{x}_1, \vec{y}_1, \vec{z}_1)$

Par cela on exprime les coordonnées des vecteurs $\vec{x}_1, \vec{y}_1, \vec{z}_1$ dans le repère $(O, \vec{x}_0, \vec{y}_0, \vec{z}_0)$

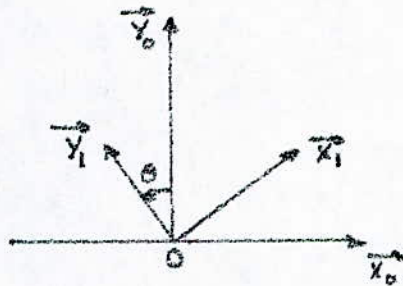


fig 2.3 passage du repère $(O, \vec{x}_0, \vec{y}_0, \vec{z}_0)$ au repère $(O, \vec{x}_1, \vec{y}_1, \vec{z}_1)$

Par projection on obtient :

$$\begin{cases} \vec{x}_1 = \vec{x}_0 \cos \theta + \vec{y}_0 \sin \theta \\ \vec{y}_1 = -\vec{x}_0 \sin \theta + \vec{y}_0 \cos \theta \\ \vec{z}_1 = \vec{z}_0 \end{cases}$$

2.1.2.2 Passage du repère $(O, \vec{x}_0, \vec{y}_0, \vec{z}_0)$ au repère $(B, \vec{x}_2, \vec{y}_2, \vec{z}_2)$

Par cela on exprime les coordonnées des vecteurs $\vec{x}_2, \vec{y}_2, \vec{z}_2$ dans le repère $(O, \vec{x}_0, \vec{y}_0, \vec{z}_0)$.

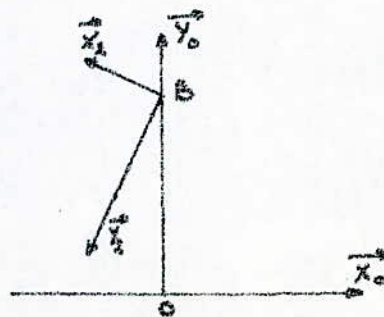


fig 2.4 Passage du repère $(O, \vec{x}_0, \vec{y}_0, \vec{z}_0)$ au repère $(B, \vec{x}_2, \vec{y}_2, \vec{z}_2)$.

Par projection on obtient :

$$\begin{cases} \vec{X}_2 = \vec{X}_0 \cos \varphi + \vec{Y}_0 \sin \varphi \\ \vec{Y}_2 = -\vec{X}_0 \sin \varphi + \vec{Y}_0 \cos \varphi \\ \vec{Z}_2 = \vec{Z}_0 \end{cases} \quad (7)$$

2.1.2.3 Passage du repère $(0, \vec{x}_0, \vec{y}_0, \vec{z}_0)$ au repère $(0, \vec{x}, \vec{y}, \vec{z})$

Pour cela on exprime les coordonnées des vecteurs $\vec{x}, \vec{y}, \vec{z}$ dans le repère $(0, \vec{x}_0, \vec{y}_0, \vec{z}_0)$

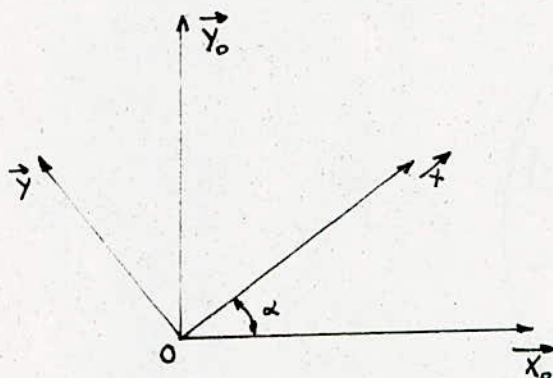


fig 2.5 Passage du repère $(0, \vec{x}_0, \vec{y}_0, \vec{z}_0)$ au repère $(0, \vec{x}, \vec{y}, \vec{z})$

Par projection on obtient

$$\begin{cases} \vec{x} = \vec{x}_0 \cos \alpha + \vec{y}_0 \sin \alpha \\ \vec{y} = -\vec{x}_0 \sin \alpha + \vec{y}_0 \cos \alpha \\ \vec{z} = \vec{z}_0 \end{cases} \quad (8)$$

2.1.2.4 Passage du repère $(O, \vec{x}_0, \vec{y}_0, \vec{z}_0)$ au repère $(D, \vec{x}_3, \vec{y}_3, \vec{z}_3)$

Pour cela on exprime les coordonnées des vecteurs $\vec{x}_3, \vec{y}_3, \vec{z}_3$ dans le repère fixe $(O, \vec{x}_0, \vec{y}_0, \vec{z}_0)$

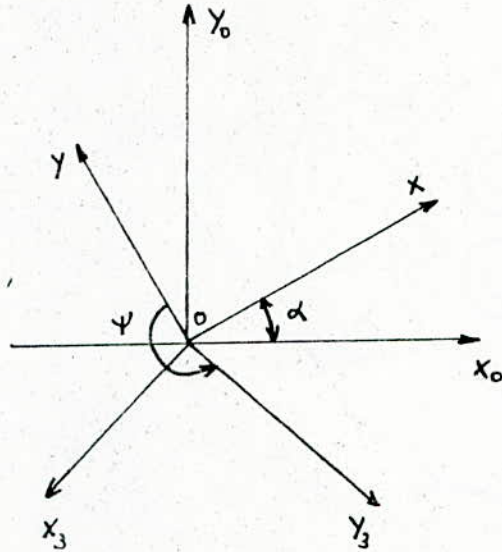


fig 2.6 Passage du repère $(O, \vec{x}_0, \vec{y}_0, \vec{z}_0)$ au repère $(D, \vec{x}_3, \vec{y}_3, \vec{z}_3)$

Par projection on obtient :

$$\begin{cases} \vec{x}_3 = \vec{x}_0 \cos(\psi + \alpha) + \vec{y}_0 \sin(\psi + \alpha) \\ \vec{y}_3 = -\vec{x}_0 \sin(\psi + \alpha) + \vec{y}_0 \cos(\psi + \alpha) \\ \vec{z}_3 = \vec{z}_0 \end{cases} \quad (9)$$

Les formules de passage (6); (7); (8); (9). Nous permettront par la suite de connaître les efforts dans les différents repères, connaissant leurs composants dans les repères fixes $(O, \vec{x}_0, \vec{y}_0, \vec{z}_0)$ et $(O, \vec{x}, \vec{y}, \vec{z})$

2.1.3 RELATIONS CINÉMATIQUES

2.1.3.1 Définition de l'angle φ

Relation cinématique fondamentale reliant θ et φ

Dans le repère $(O, \vec{x}_1, \vec{y}_1, \vec{z}_1)$ on a :

$$\vec{OA} = R \cdot \vec{Y}_1 = R(-\vec{x}_0 \sin \theta + \vec{y}_0 \cos \theta)$$

Et donc $\vec{OA} = -R \sin \theta \vec{x}_0 + R \cos \theta \vec{y}_0$

donc la projection du vecteur \vec{OA} sur \vec{x}_0 est :

$$-R \sin \theta$$

D'un autre côté dans le repère $(B, \vec{x}_2, \vec{y}_2, \vec{z}_2)$ on a :

$$\begin{aligned} \vec{BA} &= L_1 \vec{Y}_2 = L_1(-\sin \varphi \vec{x}_0 + \cos \varphi \vec{y}_0) \\ &= -L_1 \sin \varphi \vec{x}_0 + L_1 \cos \varphi \vec{y}_0 \end{aligned}$$

→ il vient que la projection du vecteur \vec{BA} sur \vec{x}_0 est :

$$-L_1 \sin \varphi$$

Et comme le point A est commun aux deux vecteurs Alors

$$R \sin \theta = L_1 \sin \varphi \quad (10)$$

→

$$\sin \varphi = \frac{R}{L_1} \sin \theta = \frac{R}{L_1} \sin \theta$$

Et comme φ varie légèrement autour de π son cosinus est toujours négatif, et on a :

$$\cos \varphi = - \left(1 - \frac{R^2}{L_1^2} \sin^2 \theta \right)^{1/2}$$

2.1.3.2 Définition de $\dot{\varphi}$

$\dot{\varphi}$ est la vitesse de rotation de la balle, elle est égale à la dérivée de φ par rapport au temps.

$$\dot{\varphi} = \frac{d\varphi}{dt}$$

Partant de la relation (10) : $\sin \varphi = \frac{R}{L_1} \sin \theta$

Et en dérivant les deux membres de cette équation par rapport au temps, il vient

$$\frac{d}{dt} (\sin \varphi) = \frac{d}{dt} \left(\frac{R}{L_1} \sin \theta \right)$$

Et comme R et L_1 sont constants, on obtient :

$$\dot{\varphi} \cos \varphi = \frac{R}{L_1} \dot{\theta} \cos \theta \quad (12)$$

Comme $\dot{\theta} = \omega$, alors :

$$\dot{\varphi} = \frac{R}{L_1} \omega \frac{\cos \theta}{\cos \varphi} \quad (13)$$

Qui est la relation exprimant $\dot{\varphi}$ en fonction de θ et φ déjà définis

2.1.3.3 Définition de $\ddot{\varphi}$

$\ddot{\varphi}$ étant l'accélération angulaire de la balle = $\frac{d\dot{\varphi}}{dt}$

En dérivant les deux membres de la relation (12) par rapport au temps on obtient

$$\frac{d}{dt} (\dot{\varphi} \cos \varphi) = \frac{d}{dt} \left(\frac{R}{L_1} \omega \cos \theta \right)$$

$$\text{et} \quad \ddot{\varphi} \cos \varphi - \dot{\varphi}^2 \sin \varphi = -\frac{R}{L_1} \omega (\dot{\theta} \sin \theta)$$

Et la vitesse de rotation supposée constante, $\frac{d\omega}{dt} = 0$

$$\text{Il vient } \ddot{\psi} \cos \varphi - \dot{\psi}^2 \sin \varphi = -\frac{R}{L_1} \omega^2 \sin \theta$$

$$\text{Et donc } \ddot{\psi} = \frac{\dot{\psi}^2 \sin \varphi - \frac{R}{L_1} \omega^2 \sin \theta}{\cos \varphi}$$

Et d'après la relation (10), nous obtenons :

$$\ddot{\psi} = (\dot{\psi}^2 - \omega^2) \operatorname{tg} \varphi \quad (14)$$

Relation donnant $\ddot{\psi}$ en fonction de $\dot{\psi}$, ω et φ qui sont déjà exprimés en fonction de θ et les autres paramètres géométriques.

2.1.3.4 Définition de l'angle φ .

Qui est l'angle de rotation de la biellette autour de l'axe \vec{Y} .

Deuxième relation cinématique fondamentale.

D'après la figure 2.2 on voit que les vecteurs \vec{OC} et \vec{OC} ont même abscisse dans le repère $(\vec{O}, \vec{x}, \vec{y}, \vec{z})$. donc il vient sachant que $\vec{OC} = \vec{OA} + \vec{AC}$;

$$\begin{aligned} R \cos(\theta + \frac{\pi}{2} - \alpha) + L_3 \cos(\frac{3\pi}{2} + \alpha - \beta - \varphi) &= L_2 \sin(\pi + \varphi) \\ -R \sin(\theta - \alpha) + L_3 \sin(\alpha - \beta - \varphi) &= -L_2 \sin \varphi \end{aligned} \quad (15)$$

$$\text{Et finalement : } \sin \varphi = \frac{R \sin(\theta - \alpha) - L_3 \sin(\alpha - \beta - \varphi)}{L_2} \quad (16)$$

Et on tire la valeur du cosinus de l'angle ψ en fonction de son sinus.

$$\cos^2 \psi = 1 - \sin^2 \psi$$

Alors
$$\cos \psi = \pm \sqrt{1 - \sin^2 \psi}$$

Et comme ψ est un angle qui varie légèrement autour de π , et il est positif alors son cosinus est négatif

$$\cos \psi = - \sqrt{1 - \frac{R \sin(\theta - \alpha) - L_3 \sin(\alpha - \beta - \psi)}{L_2}} \quad (17)$$

2.1.3.5 Définition de l'angle ψ

Qui est la vitesse angulaire instantanée de la bielle autour de l'axe $\vec{\Psi}$

Derivons la relation (15) une fois par rapport au temps on obtient

$$L_2 \dot{\psi} \cos \psi = \dot{\theta} R \cos(\theta - \alpha) + L_3 \dot{\psi} \cos(\alpha - \beta - \psi) \quad (18)$$

$$\dot{\psi} = (\dot{\theta} R \cos(\theta - \alpha) + L_3 \dot{\psi} \cos(\alpha - \beta - \psi)) / L_2 \cos \psi \quad (19)$$

2.1.3.6 Définition de l'accélération angulaire $\ddot{\psi}$

En derivant une fois par rapport au temps l'égalité (18) on obtient:

$$L_2 \ddot{\psi} \cos \psi - L_2 \dot{\psi}^2 \sin \psi = R \ddot{\theta} \cos(\theta - \alpha) - R \dot{\theta}^2 \sin(\theta - \alpha) + L_3 \ddot{\psi} \cos(\alpha - \beta - \psi) + L_3 \dot{\psi}^2 \sin(\alpha - \beta - \psi)$$

Et comme $\ddot{\theta} = 0$ Alors :

$$\ddot{\psi} = \frac{L_2 \dot{\psi}^2 \sin \psi - R \dot{\theta}^2 \sin(\theta - \alpha) + L_3 \ddot{\psi} \cos(\alpha - \beta - \psi) + L_3 \dot{\psi}^2 \sin(\alpha - \beta - \psi)}{L_2 \cos \psi}$$

2.1.4 ETUDE CINEMATIQUE DU CENTRE DE GRAVITE DE LA BIELLE

Soit G_1 le centre de gravite de la bielle, \vec{OG}_1 le vecteur position du point G_1 , il est definit par :

$$\vec{OG}_1 = \begin{pmatrix} x_{G1} \\ y_{G1} \\ z_{G1} \end{pmatrix} \begin{pmatrix} \vec{x}_0 \\ \vec{y}_0 \\ \vec{z}_0 \end{pmatrix} \quad \text{ou}$$

$$\begin{cases} x_{G1} = -\frac{R \cdot L_{G1}}{L_1} \sin \theta \\ y_{G1} = R \cos \theta - (L_1 - L_{G1}) \cos \psi \\ z_{G1} = 0 \end{cases}$$

Expression de la vitesse du point G_1 notée \vec{V}_{G1}

Par definition $\vec{V}_{G1} = \frac{d}{dt} (\vec{OG}_1) = \begin{pmatrix} \dot{x}_{G1} \\ \dot{y}_{G1} \\ \dot{z}_{G1} \end{pmatrix} \begin{pmatrix} \vec{x}_0 \\ \vec{y}_0 \\ \vec{z}_0 \end{pmatrix}$

avec :

$$\begin{cases} \dot{x}_{G1} = \frac{d}{dt} (x_{G1}) = -\frac{R}{L_1} L_{G1} \omega \cos \theta \\ \dot{y}_{G1} = \frac{d}{dt} (y_{G1}) = R \sin \theta (\dot{\psi} - \omega) - R \sin \theta \frac{L_{G1}}{L_1} \dot{\psi} \\ \dot{z}_{G1} = \frac{d}{dt} (z_{G1}) = 0 \end{cases}$$

Et il vient finalement

$$\vec{v}_{G_1 / (O, \vec{x}_0, \vec{y}_0, \vec{z}_0)} = \begin{pmatrix} -\frac{R}{L_1} L_{G_1} \cdot \omega \cdot \cos \theta \\ R \sin \theta \left(\dot{\psi} - \omega - \frac{L_{G_1}}{L_1} \dot{\psi} \right) \\ 0 \end{pmatrix} \begin{pmatrix} \vec{x}_0 \\ \vec{y}_0 \\ \vec{z}_0 \end{pmatrix} \quad (19)$$

Expression de l'accélération du point G_1

Par définition l'accélération du centre de gravité notée $\vec{\Gamma}_{G_1}$ est donnée par :

$$\vec{\Gamma}_{G_1} = \frac{d}{dt} (\vec{v}_{G_1})$$

$$\text{ou } \vec{\Gamma}_{G_1} = \ddot{x}_{G_1} \cdot \vec{x}_0 + \ddot{y}_{G_1} \cdot \vec{y}_0 + \ddot{z}_{G_1} \cdot \vec{z}_0$$

$$\text{Avec } \ddot{x}_{G_1} = \frac{d}{dt} (\dot{x}_{G_1}) = \frac{L_{G_1} \cdot R \cdot \omega^2 \sin \theta}{L_1}$$

$$\ddot{y}_{G_1} = \frac{d}{dt} (\dot{y}_{G_1}) = \frac{R}{L_1} \left[(\dot{\psi}(L_1 - L_{G_1}) - L_1 \omega) \cos \theta + \ddot{\psi}(L_1 - L_{G_1}) \sin \theta \right]$$

$$\ddot{z}_{G_1} = \frac{d}{dt} (\dot{z}_{G_1}) = \frac{d}{dt} (0) = 0$$

Et il vient finalement

$$\vec{\Gamma}_{G_1 / (O, \vec{x}_0, \vec{y}_0, \vec{z}_0)} = \begin{pmatrix} \frac{L_{G_1} \cdot R \cdot \omega^2 \cdot \sin \theta}{L_1} \\ \frac{R}{L_1} \left[(\dot{\psi}(L_1 - L_{G_1}) - L_1 \omega) \cos \theta + \ddot{\psi}(L_1 - L_{G_1}) \sin \theta \right] \\ 0 \end{pmatrix} \begin{pmatrix} \vec{x}_0 \\ \vec{y}_0 \\ \vec{z}_0 \end{pmatrix} \quad (20)$$

2.1.5 ETUDE CINEMATIQUE DU CENTRE DE GRAVITE DE LA BIELLETTTE

Soit G_2 ce point, et $x_{G_2}, y_{G_2}, z_{G_2}$ ses composantes dans le repère $(0, \vec{x}_0, \vec{y}_0, \vec{z}_0)$, \vec{OG}_2 vecteur position du point G_2 sera :

$$\vec{OG}_2 / (0, \vec{x}_0, \vec{y}_0, \vec{z}_0) = \begin{pmatrix} x_2 \\ y_2 \\ z_2 \end{pmatrix} \begin{pmatrix} \vec{x}_0 \\ \vec{y}_0 \\ \vec{z}_0 \end{pmatrix} \quad \text{ou}$$

$$\begin{cases} x_2 = -R \sin \theta + L_3 \sin(\varphi + \beta) + (L_2 - L_{G_2}) \sin(\varphi + \alpha) \\ y_2 = R \cos \theta - L_3 \cos(\varphi + \beta) - (L_2 - L_{G_2}) \cos(\varphi + \alpha) \\ z_2 = 0 \end{cases}$$

La vitesse du point G_2 : $\vec{v}_{G_2} = \frac{d}{dt} (\vec{OG}_2) = \begin{pmatrix} \dot{x}_{G_2} \\ \dot{y}_{G_2} \\ \dot{z}_{G_2} \end{pmatrix} \begin{pmatrix} \vec{x}_0 \\ \vec{y}_0 \\ \vec{z}_0 \end{pmatrix}$

ou
$$\begin{cases} \dot{x}_{G_2} = \frac{d}{dt} (x_{G_2}) = -R \dot{\theta} \cos \theta + L_3 \dot{\varphi} \cos(\varphi + \beta) + (L_2 - L_{G_2}) \dot{\varphi} \cos(\varphi + \alpha) \\ \dot{y}_{G_2} = \frac{d}{dt} (y_{G_2}) = -R \dot{\theta} \sin \theta - L_3 \dot{\varphi} \sin(\varphi + \beta) - (L_2 - L_{G_2}) \dot{\varphi} \sin(\varphi + \alpha) \\ \dot{z}_{G_2} = \frac{d}{dt} (z_{G_2}) = 0 \end{cases}$$

L'accélération du point G_2 : $\vec{\Gamma}_{G_2} / (0, \vec{x}_0, \vec{y}_0, \vec{z}_0) = \frac{d}{dt} (\vec{v}_{G_2} / (0, \vec{x}_0, \vec{y}_0, \vec{z}_0)) = \begin{pmatrix} \ddot{x}_{G_2} \\ \ddot{y}_{G_2} \\ \ddot{z}_{G_2} \end{pmatrix} \begin{pmatrix} \vec{x}_0 \\ \vec{y}_0 \\ \vec{z}_0 \end{pmatrix}$

ou
$$\ddot{x}_{G_2} = \frac{d}{dt} (\dot{x}_{G_2}) ; \quad \ddot{y}_{G_2} = \frac{d}{dt} (\dot{y}_{G_2}) ; \quad \ddot{z}_{G_2} = \frac{d}{dt} (\dot{z}_{G_2}) .$$

finalment

$$\vec{\Gamma}_{G_2} / (0, \vec{x}_0, \vec{y}_0, \vec{z}_0) = \begin{pmatrix} R \ddot{\theta} \sin \theta + L_3 (\ddot{\varphi} \cos(\varphi + \beta) - \dot{\varphi}^2 \sin(\varphi + \beta)) + (L_2 - L_{G_2}) (\ddot{\varphi} \cos(\varphi + \alpha) - \dot{\varphi}^2 \sin(\varphi + \alpha)) \\ -R \ddot{\theta} \cos \theta + L_3 (\ddot{\varphi} \sin(\varphi + \beta) + \dot{\varphi}^2 \cos(\varphi + \beta)) + (L_2 - L_{G_2}) (\ddot{\varphi} \sin(\varphi + \alpha) + \dot{\varphi}^2 \cos(\varphi + \alpha)) \\ 0 \end{pmatrix}$$

(21)

1.6 CINEMATIQUE DU POINT B

B est le point se trouvant sur l'axe d'articulation de la bielle sur le piston 1.

Position du point B dans le repère fixe $(O, \vec{x}_0, \vec{y}_0, \vec{z}_0)$.

$$\vec{OB}_{(O, \vec{x}_0, \vec{y}_0, \vec{z}_0)} = \begin{pmatrix} 0 \\ R \cos \theta + L_2 \cos \varphi \\ 0 \end{pmatrix} \begin{pmatrix} \vec{x}_0 \\ \vec{y}_0 \\ \vec{z}_0 \end{pmatrix}$$

Vitesse du point B dans le repère $(O, \vec{x}_0, \vec{y}_0, \vec{z}_0) = \vec{v}_{B/(O, \vec{x}_0, \vec{y}_0, \vec{z}_0)} = \frac{d(\vec{OB})}{dt}$

Il vient

$$\vec{v}_{B/(O, \vec{x}_0, \vec{y}_0, \vec{z}_0)} = \begin{pmatrix} 0 \\ R(\dot{\psi} + \dot{\theta}) \sin \theta \\ 0 \end{pmatrix} \begin{pmatrix} \vec{x}_0 \\ \vec{y}_0 \\ \vec{z}_0 \end{pmatrix}$$

Accélération du point B dans le repère $(O, \vec{x}_0, \vec{y}_0, \vec{z}_0)$

$$\vec{\Gamma}_{B/(O, \vec{x}_0, \vec{y}_0, \vec{z}_0)} = \frac{d}{dt} \left(\vec{v}_{B/(O, \vec{x}_0, \vec{y}_0, \vec{z}_0)} \right)$$

Il vient

$$\vec{\Gamma}_{B/(O, \vec{x}_0, \vec{y}_0, \vec{z}_0)} = \begin{pmatrix} 0 \\ R\omega(\dot{\psi} - \omega) \cos \theta + R\ddot{\psi} \sin \theta \\ 0 \end{pmatrix} \begin{pmatrix} \vec{x}_0 \\ \vec{y}_0 \\ \vec{z}_0 \end{pmatrix}$$

2.1.7 CINEMATIQUE DU POINT D

D est le point sur l'axe d'articulation de la bielle sur le piston 2.

Et \vec{OD} le vecteur position du point, il est défini dans le repère fixe $(O, \vec{x}_0, \vec{y}_0, \vec{z}_0)$ par :

$$\vec{OD}_{(O, \vec{x}_0, \vec{y}_0, \vec{z}_0)} = \begin{pmatrix} -R \sin \theta + L_3 \sin(\psi + \beta) + L_2 \sin(\psi - \alpha) \\ R \cos \theta - L_3 \cos(\psi + \beta) - L_2 \cos(\psi - \alpha) \\ 0 \end{pmatrix} \begin{pmatrix} \vec{x}_0 \\ \vec{y}_0 \\ \vec{z}_0 \end{pmatrix}$$

Vitesse du point D dans le repère $(O, \vec{x}_0, \vec{y}_0, \vec{z}_0) = \vec{V}_D / (O, \vec{x}_0, \vec{y}_0, \vec{z}_0) = \frac{d}{dt} (\vec{OD}_{(O, \vec{x}_0, \vec{y}_0, \vec{z}_0)})$

Il vient après dérivation / au temps

$$\vec{V}_D / (O, \vec{x}_0, \vec{y}_0, \vec{z}_0) = \begin{pmatrix} -R \dot{\theta} \cos \theta + L_3 \dot{\psi} \cos(\psi + \beta) + L_2 \dot{\psi} \cos(\psi + \alpha) \\ -R \dot{\theta} \sin \theta + L_3 \dot{\psi} \sin(\psi + \beta) + L_2 \dot{\psi} \sin(\psi + \alpha) \\ 0 \end{pmatrix} \begin{pmatrix} \vec{x}_0 \\ \vec{y}_0 \\ \vec{z}_0 \end{pmatrix}$$

Accélération du point D dans le repère $(O, \vec{x}_0, \vec{y}_0, \vec{z}_0)$

$$\vec{\Gamma}_D / (O, \vec{x}_0, \vec{y}_0, \vec{z}_0) = \frac{d}{dt} (\vec{V}_D / (O, \vec{x}_0, \vec{y}_0, \vec{z}_0)) \quad \text{Et,}$$

$$\vec{\Gamma}_D / (O, \vec{x}_0, \vec{y}_0, \vec{z}_0) = \begin{pmatrix} R \ddot{\theta} \sin \theta + L_3 (\ddot{\psi} \cos(\psi + \beta) - \dot{\psi}^2 \sin(\psi + \beta)) + L_2 (\ddot{\psi} \cos(\psi + \alpha) - \dot{\psi}^2 \sin(\psi + \alpha)) \\ -R \ddot{\theta} \cos \theta + L_3 (\ddot{\psi} \sin(\psi + \beta) + \dot{\psi}^2 \cos(\psi + \beta)) + L_2 (\ddot{\psi} \sin(\psi + \alpha) + \dot{\psi}^2 \cos(\psi + \alpha)) \\ 0 \end{pmatrix} \begin{pmatrix} \vec{x}_0 \\ \vec{y}_0 \\ \vec{z}_0 \end{pmatrix} \quad (22)$$

2.1.8 CINEMATIQUE DU CENTRE DE GRAVITE DE LA MANIVELLE

Soit K ce point et x_K, y_K, z_K ses composantes dans le repère $(O, \vec{x}_0, \vec{y}_0, \vec{z}_0)$

Le vecteur \vec{OK} sera defini (voir fig 2.2) :

$$\vec{OK}_{/(O, \vec{x}_0, \vec{y}_0, \vec{z}_0)} = \begin{pmatrix} -r \sin \theta \\ r \cos \theta \\ 0 \end{pmatrix} \begin{pmatrix} \vec{x}_0 \\ \vec{y}_0 \\ \vec{z}_0 \end{pmatrix}$$

La vitesse du point K : $\vec{V}_{K/(O, \vec{x}_0, \vec{y}_0, \vec{z}_0)} = \frac{d}{dt} (\vec{OK}_{/(O, \vec{x}_0, \vec{y}_0, \vec{z}_0)})$

Il vient :

$$\vec{V}_{K/(O, \vec{x}_0, \vec{y}_0, \vec{z}_0)} = \begin{pmatrix} -r \dot{\theta} \cos \theta \\ -r \dot{\theta} \sin \theta \\ 0 \end{pmatrix} \begin{pmatrix} \vec{x}_0 \\ \vec{y}_0 \\ \vec{z}_0 \end{pmatrix}$$

L'acceleration du point K : $\vec{\Gamma}_{K/(O, \vec{x}_0, \vec{y}_0, \vec{z}_0)} = \frac{d}{dt} (\vec{V}_{K/(O, \vec{x}_0, \vec{y}_0, \vec{z}_0)})$

Il vient :

$$\vec{\Gamma}_{K/(O, \vec{x}_0, \vec{y}_0, \vec{z}_0)} = \begin{pmatrix} r \omega^2 \sin \theta \\ -r \omega^2 \cos \theta \\ 0 \end{pmatrix} \begin{pmatrix} \vec{x}_0 \\ \vec{y}_0 \\ \vec{z}_0 \end{pmatrix} \tag{2a}$$

3 CALCUL DYNAMIQUE

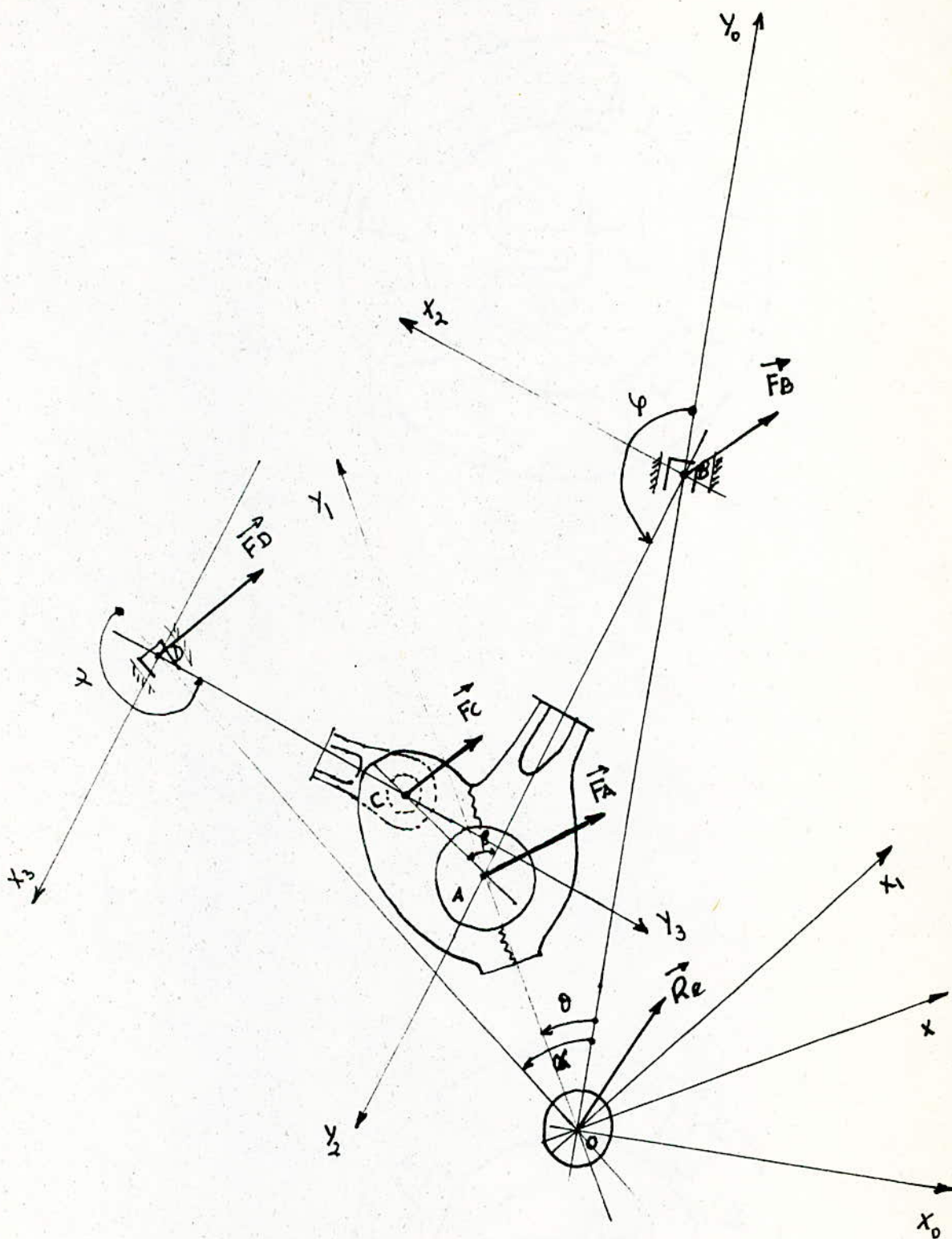
BUT : Déterminer les actions mécaniques appliquées aux différents organes composants le système bielle - biellette.

Nous négligeons l'effet des frottements mécaniques ainsi que le poids des organes en mouvement.

les actions sont :

chemise 1 sur piston 1	: \vec{FE} (1 seule composante \vec{x}_E)
piston 1 sur bielle	: \vec{FB} (2 composantes \vec{x}_B, \vec{y}_B)
piston 2 sur chemise 2	: \vec{FF} (1 seule composante \vec{x}_F)
bielle sur maneton	: \vec{FA} (2 composantes \vec{x}_A, \vec{y}_A)
biellette sur piston 2	: \vec{FD} (2 composantes \vec{x}_D, \vec{y}_D)
bielle sur biellette	: \vec{FC} (2 composantes \vec{x}_C, \vec{y}_C)
et enfin manivelle sur paliers	: \vec{FO} (2 composantes \vec{x}_O, \vec{y}_O)

- Dans cette étude on calcule les actions mécaniques des organes pris chacun isolément.
- On commencera par la bielle, puis le piston 1, biellette, piston 2, et enfin la manivelle.
- Les forces sont représentées dans une position quelconque du système, lors du fonctionnement du moteur.
- Pour chaque organe on établira les équations vectorielles fondamentales.



3.0 Représentation des actions mécaniques appliquées à l'embrayage et le vilebrequin.

3.1 ETUDE DYNAMIQUE DE LA BIELLE

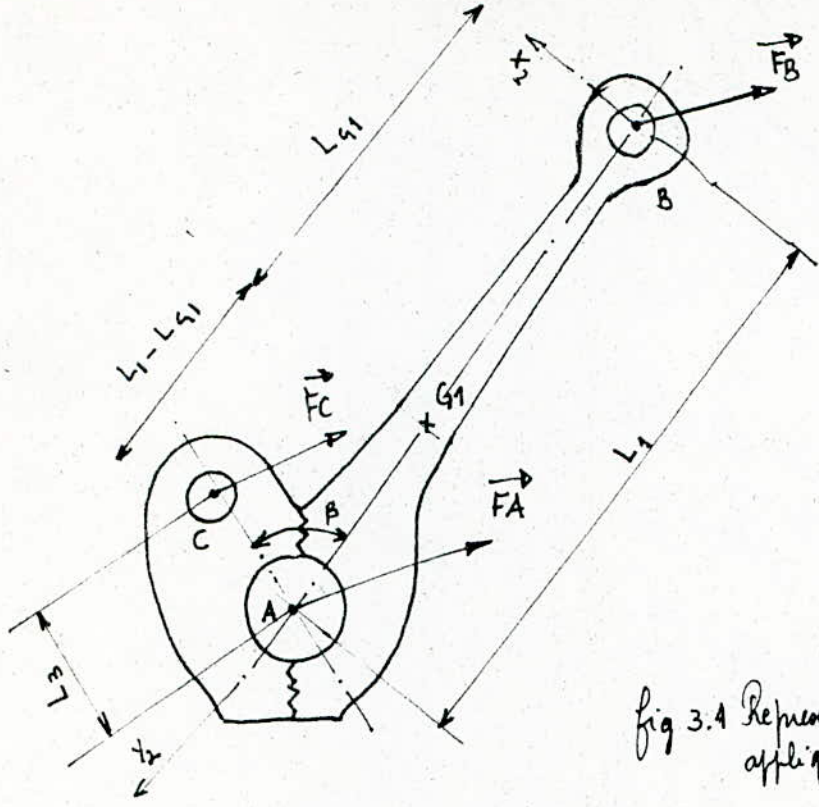


fig 3.4 Représentation des actions mécaniques appliquées à la bielle.

3.1.1 ANALYSE DES ACTIONS MECANQUES APPLIQUEES A LA BIELLE

- On isole la bielle, il ya 3 actions mecaniques appliquees à celle-ci
- l'action du maneton sur la bielle en A : τ_A
 - l'action de l'axe du piston 1 sur la bielle en B : τ_B
 - l'action de la biellette sur la bielle en C : τ_C

La liaison du type verrou en A, nous permet d'ecrire.

$$\begin{cases} \vec{F}_A \cdot \vec{z}_0 = 0 \\ \vec{M}_A \cdot \vec{z}_0 = 0 \end{cases}$$

Donc le torseur des actions mecaniques au point A se resume à :

$$\tau_A \left\{ \begin{array}{l} \vec{F}_A \\ \vec{M}_A \end{array} \right. ; \quad \vec{F}_A = \begin{pmatrix} x_A \\ y_A \\ 0 \end{pmatrix} \begin{pmatrix} \vec{x}_0 \\ \vec{y}_0 \\ \vec{z}_0 \end{pmatrix} \quad \text{et} \quad \vec{M}_A = \vec{0}$$

De même que le point A, en B, nous avons une liaison du type verrou, donc :

$$\mathcal{L}_B : \begin{cases} \vec{F}_B \\ \vec{m}_B \end{cases}$$

$$\text{ou} \quad \vec{F}_B = \begin{pmatrix} X_B \\ Y_B \\ 0 \end{pmatrix} \begin{pmatrix} \vec{x}_0 \\ \vec{y}_0 \\ \vec{z}_0 \end{pmatrix} \quad \text{et} \quad \vec{m}_B = \vec{0}$$

Ainsi que pour le point C, nous avons une liaison du type verrou, donc :

$$\mathcal{L}_C : \begin{cases} \vec{F}_C \\ \vec{m}_C \end{cases}$$

$$\text{ou} \quad \vec{F}_C = \begin{pmatrix} X_C \\ Y_C \\ 0 \end{pmatrix} \begin{pmatrix} \vec{x}_0 \\ \vec{y}_0 \\ \vec{z}_0 \end{pmatrix} \quad \text{et} \quad \vec{m}_C = \vec{0}$$

3.1.2 EQUATIONS VECTORIELLES FONDAMENTALES DE LA BIELLE

Nous appliquons à la bielle les équations fondamentales de la dynamique :

$$\begin{cases} m_{\text{bielle}} \cdot \vec{\Gamma}_{G1/(0, \vec{x}_0, \vec{y}_0, \vec{z}_0)} = \sum \vec{F}_{\text{ext}/\text{bielle}} & \text{(I)} \end{cases}$$

$$\begin{cases} \vec{\delta}_{(\text{bielle}/G1)}^2 = \sum \vec{m}_{\vec{F}_{\text{ext}/G1}} & \text{(II)} \end{cases}$$

où :

$$m_{\text{bielle}} = m_{b1}$$

$\vec{\delta}_{(\text{bielle}/G1)}^2$: moment dynamique de la bielle par rapport à son centre de gravité G_1 , exprimé dans le repère $(0, \vec{x}_2, \vec{y}_2, \vec{z}_2)$

3.1.2.1 CALCUL DU MOMENT DYNAMIQUE DE LA BIELLE

Le moment dynamique de la bielle par rapport à son centre de gravité G_1 , exprimé dans le repère $(O, \vec{x}_2, \vec{y}_2, \vec{z}_2)$ est égal à la dérivée première / temps du moment cinétique de cette bielle par rapport au centre de gravité G_1 exprimé dans le repère $(O, \vec{x}_2, \vec{y}_2, \vec{z}_2)$.

$$\overrightarrow{S}^2(\text{bielle}/G_1) = \frac{d}{dt} (\overrightarrow{V}^2(\text{bielle}/G_1))$$

Le moment cinétique de la bielle par rapport à son centre de gravité G_1 exprimé dans le repère $(O, \vec{x}_2, \vec{y}_2, \vec{z}_2)$ est égal au produit du tenseur d'inertie de la bielle par rapport à son centre de gravité G_1 exprimé dans le repère $(G_1, \vec{x}_2, \vec{y}_2, \vec{z}_2)$ par le vecteur rotation de la bielle dans le repère $(O, \vec{x}_0, \vec{y}_0, \vec{z}_0)$

$$\overrightarrow{V}^2(\text{bielle}/G_1) = \overline{\overline{I}}(\text{bielle}/G_1) \cdot \overrightarrow{\Omega}(\text{bielle}/O)$$

$(G_1, \vec{x}_2, \vec{y}_2, \vec{z}_2)$

Le tenseur d'inertie et le vecteur rotation doivent être exprimés dans le même repère

Dans un cas général d'un solide (S) , on définit le tenseur d'inertie $\overline{\overline{I}}(S/G)$ du solide (S) par rapport à son centre de gravité G , exprimé $(G, \vec{x}, \vec{y}, \vec{z})$

dans le repère $(G, \vec{x}, \vec{y}, \vec{z})$ par :

$$\overline{\overline{I}}(S/G) = \begin{vmatrix} A & -F & -E \\ -F & B & -D \\ -E & -D & C \end{vmatrix}$$

A, B, C sont les moments d'inertie par rapport au centre de gravité G sur les axes $\vec{x}, \vec{y}, \vec{z}$. D, E et F sont les produits d'inertie par rapport au centre de gravité G sur les axes \vec{x}, \vec{y} et \vec{z}

$$A = \iiint_{PE(S)} (y^2 + z^2) \, dmp$$

$$B = \iiint_{PE(S)} (x^2 + z^2) \, dmp$$

$$C = \iiint_{PE(S)} (x^2 + y^2) \, dmp$$

$$D = \iiint_{PE(S)} yz \, dmp$$

$$E = \iiint_{PE(S)} xz \, dmp$$

$$F = \iiint_{PE(S)} xy \, dmp$$

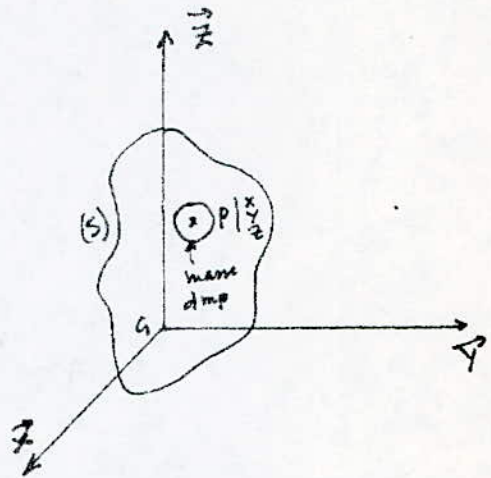


fig 3.2 définition du tenseur d'inertie

Propriété importante

- Si un solide possède un plan de symétrie :
deux produits d'inertie sont nuls

exemple : Si (\vec{x}, \vec{y}) est plan de symétrie, $D = E = 0$ et $F \neq 0$

- Si un solide possède deux plans de symétrie :
les trois produits d'inertie sont nuls $D = E = F = 0$ [*]

3.1.2.2 Application :

Dans notre cas, à cause de l'articulation de la bielle sur la bête cette dernière ne possède qu'un seul plan de symétrie qui est le plan (\vec{x}_2, \vec{y}_2) d'où :

$$D = E = 0 \quad \text{et} \quad F \neq 0$$

Alors il vient

$$\overline{\overline{I}}(bielle/G_1)_{(G_1, \vec{x}_2, \vec{y}_2, \vec{z}_2)} = \begin{vmatrix} A & -F & 0 \\ -F & B & 0 \\ 0 & 0 & C \end{vmatrix}$$

où A, B, C, F sont définis ci-dessus en les exprimants dans le repère $(G_1, \vec{x}_2, \vec{y}_2, \vec{z}_2)$

→ et comme $\vec{L}(\text{bielle}/O) = \dot{\psi} \cdot \vec{z}_0$ (voir relation (4))

Alors on a :

$$\vec{\Gamma}^2(\text{bielle}/G_1) = \overline{\overline{I(\text{bielle}/G_1)}} \cdot \vec{L}(\text{bielle}/O)$$

$(G_1, \vec{x}_2, \vec{y}_2, \vec{z}_2)$

qui devient

$$\vec{\Gamma}^2(\text{bielle}/G_1) = \begin{pmatrix} A & -F & 0 \\ -F & B & 0 \\ 0 & 0 & C \end{pmatrix} \cdot \begin{pmatrix} 0 \\ 0 \\ \dot{\psi} \end{pmatrix} \begin{pmatrix} \vec{x}_0 \\ \vec{y}_0 \\ \vec{z}_0 \end{pmatrix}$$

$$\vec{\Gamma}^2(\text{bielle}/G_1) = C \cdot \dot{\psi} \vec{z}_0$$

où $C = IZ_1$: qui est le moment d'inertie de la bielle par rapport à son centre de gravité G_1 par rapport à l'axe \vec{z}_2 qui est égal à l'axe \vec{z}

et il vient :

$$\vec{S}^2(\text{bielle}/G_1) = \frac{d}{dt} (\vec{\Gamma}^2(\text{bielle}/G_1))$$

$$= \frac{d}{dt} (C \cdot \dot{\psi} \vec{z}_0)$$

$$= C \cdot \ddot{\psi} \vec{z}_0$$

et comme $C = IZ_1$ Alors :

$$\vec{S}^2(\text{bielle}/G_1) = IZ_1 \cdot \ddot{\psi} \vec{z}_0$$

3.123 CALCUL DES MOMENTS DES FORCES APPLIQUÉES A LA BIÈLE PAR RAPPORT A SON CENTRE DE GRAVITÉ.

Puisque le moment dynamique est calculé par rapport au centre de gravité de la bielle, il faut ramener les moments des forces extérieures appliquées à la bielle au centre de gravité G_1

- Moment de la force \vec{F}_A / G_1

$$\vec{M}_{\vec{F}_A/G_1} = \vec{M}_{\vec{F}_A/A} + \vec{G_1A} \wedge \vec{F}_A$$

et comme \vec{F}_A passe par le point A Alors :

$$\vec{M}_{\vec{F}_A/A} = \vec{0}$$

et il vient après avoir exprimé $\vec{G_1A}$ et \vec{F}_A dans le repère $(O, \vec{x}_0, \vec{y}_0, \vec{z}_0)$

$$\vec{M}_{\vec{F}_A/G_1} = \vec{0} + \begin{pmatrix} -(L_1 - L_{G_1}) \sin \varphi \\ (L_1 - L_{G_1}) \cos \varphi \\ 0 \end{pmatrix} \wedge \begin{pmatrix} X_A \\ Y_A \\ 0 \end{pmatrix} \begin{pmatrix} K_0 \\ X_0 \\ Z_0 \end{pmatrix}$$

Et on obtient :

$$\vec{M}_{\vec{F}_A/G_1} = \begin{pmatrix} 0 \\ 0 \\ -(L_1 - L_{G_1})(X_A \cos \varphi + Y_A \sin \varphi) \end{pmatrix} \begin{pmatrix} \vec{x}_0 \\ \vec{y}_0 \\ \vec{z}_0 \end{pmatrix}$$

- Moment de la force \vec{F}_B / G_1

$$\vec{M}_{\vec{F}_B/G_1} = \vec{M}_{\vec{F}_B/B} + \vec{G_1B} \wedge \vec{F}_B$$

et comme \vec{F}_B passe par B Alors :

$$\vec{M}_{\vec{F}_B/B} = \vec{0}$$

Et il vient après avoir exprimé $\vec{G_1B}$ et \vec{F}_B dans le repère $(O, \vec{x}_0, \vec{y}_0, \vec{z}_0)$

$$\vec{M}_{\vec{F}_B/G_1} = \vec{0} + \begin{pmatrix} L_{G1} \sin \varphi \\ -L_{G1} \cos \varphi \\ 0 \end{pmatrix} \begin{pmatrix} \vec{x}_0 \\ \vec{y}_0 \\ \vec{z}_0 \end{pmatrix} \wedge \begin{pmatrix} x_B \\ y_B \\ 0 \end{pmatrix} \begin{pmatrix} \vec{x}_0 \\ \vec{y}_0 \\ \vec{z}_0 \end{pmatrix}$$

Et on obtient :

$$\vec{M}_{\vec{F}_B/G_1} = \begin{pmatrix} 0 \\ 0 \\ L_{G1} (x_B \cos \varphi + y_B \sin \varphi) \end{pmatrix} \begin{pmatrix} \vec{x}_0 \\ \vec{y}_0 \\ \vec{z}_0 \end{pmatrix}$$

Moment de la force \vec{F}_C par rapport au point G_1

$$\vec{M}_{\vec{F}_C/G_1} = \vec{M}_{\vec{F}_C/G} + \vec{G_1G} \wedge \vec{F}_C$$

Et comme \vec{F}_C passe par le point C alors il vient :

$$\vec{M}_{\vec{F}_C/C} = \vec{0}$$

Et comme l'expression de $\vec{G_1G}$ dans le repère fixe $(0, \vec{x}_0, \vec{y}_0, \vec{z}_0)$ est :

$$\vec{G_1G} = \begin{pmatrix} L_3 \sin(\varphi + \beta) - (L_1 - L_{G1}) \sin \varphi \\ -L_3 \cos(\varphi + \beta) + (L_1 - L_{G1}) \cos \varphi \\ 0 \end{pmatrix} \begin{pmatrix} \vec{x}_0 \\ \vec{y}_0 \\ \vec{z}_0 \end{pmatrix}$$

Ainsi que pour \vec{F}_C :

$$\vec{F}_C = \begin{pmatrix} x_C \\ y_C \\ 0 \end{pmatrix} \begin{pmatrix} \vec{x}_0 \\ \vec{y}_0 \\ \vec{z}_0 \end{pmatrix}$$

Il vient alors :

$$\vec{M}_{\vec{F}_C/G_1} = \vec{0} + \begin{pmatrix} L_3 \sin(\varphi + \beta) - (L_1 - L_{G1}) \sin \varphi \\ -L_3 \cos(\varphi + \beta) + (L_1 - L_{G1}) \cos \varphi \\ 0 \end{pmatrix} \begin{pmatrix} \vec{x}_0 \\ \vec{y}_0 \\ \vec{z}_0 \end{pmatrix} \wedge \begin{pmatrix} x_C \\ y_C \\ 0 \end{pmatrix} \begin{pmatrix} \vec{x}_0 \\ \vec{y}_0 \\ \vec{z}_0 \end{pmatrix}$$

On aura :

$$\vec{M}_{\vec{F}_C/G_1} = \begin{pmatrix} 0 \\ 0 \\ (L_3 \sin(\varphi + \beta) - (L_1 - L_{G1}) \sin \varphi) x_C + (L_3 \cos(\varphi + \beta) - (L_1 - L_{G1}) \cos \varphi) y_C \end{pmatrix} \begin{pmatrix} \vec{x}_0 \\ \vec{y}_0 \\ \vec{z}_0 \end{pmatrix}$$

3.1.4 EQUATIONS SCALAIRES DE LA BIELLE

Pour obtenir les équations scalaires de la bielle, il suffit de faire la projection de chaque équation vectorielle de la bielle sur les axes du repère $(O, \vec{x}_0, \vec{y}_0, \vec{z}_0)$.

La projection de l'équation (I) sur le repère $(O, \vec{x}_0, \vec{y}_0, \vec{z}_0)$ donne:

$$\text{projection sur } \vec{x}_0: \quad m b_1 \ddot{X}_{G1} = XA + XB + XC$$

$$\text{" } \vec{y}_0: \quad m b_1 \ddot{Y}_{G1} = YA + YB + YC$$

$$\text{" } \vec{z}_0: \quad 0 = 0$$

La projection de l'équation (II) sur le repère $(O, \vec{x}_0, \vec{y}_0, \vec{z}_0)$ donne:

$$\text{projection sur } \vec{x}_0: \quad 0 = 0$$

$$\text{" } \vec{y}_0: \quad 0 = 0$$

$$\begin{aligned} \text{" } \vec{z}_0: \quad I_{Z1} \ddot{\Psi} = & (L_{G1} - L_1)(XA \cos \varphi + YA \sin \varphi) + L_{G1}(XB \cos \varphi + YB \sin \varphi) \\ & + (L_3 \sin(\varphi + \beta) - (L_1 - L_{G1}) \sin \varphi) YC + (L_3 \cos(\varphi + \beta) \\ & - (L_1 - L_{G1}) \cos \varphi) XC \end{aligned}$$

Conclusion: L'étude dynamique de la bielle aboutit à l'obtention d'un système de trois équations à six inconnues, donc pour pouvoir résoudre le problème, il faut isoler les solides voisins liés directement à la bielle et faire leurs études dynamique.

3.2 ETUDE DYNAMIQUE DU PISTON 1

3.2.1 ANALYSE DES ACTIONS MÉCANIQUES APPLIQUÉES AU PISTON 1

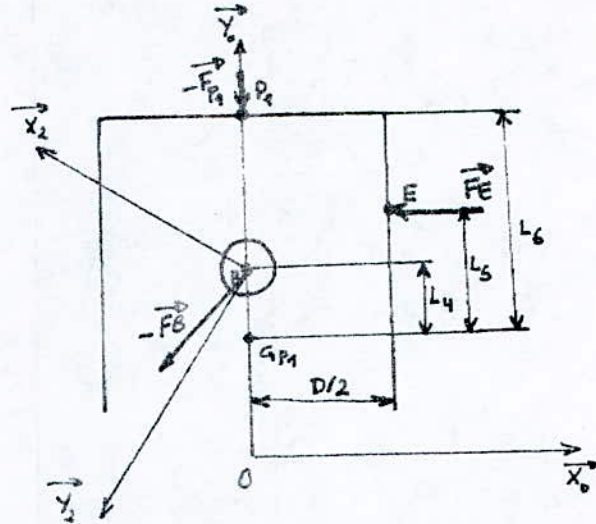


fig 3.3 : Analyse des actions appliquées au piston 1

On isole le piston 1, il ya trois actions mécaniques appliquées à celui ci

- L'action de l'axe du piston 2 sur la bielle en B : \mathcal{C}_B
- L'action de la chemise 2 sur piston 1 en E : \mathcal{C}_E
- L'action des gaz sur le piston 1 en P : \mathcal{C}_P

La liaison du type verrou que nous avons en B, nous permet d'écrire

$$\begin{cases} -\vec{F}_B \cdot \vec{z}_0 = 0 \\ -\vec{M}_B \cdot \vec{z}_0 = 0 \end{cases}$$

Donc le tenseur des actions mécaniques au point B se résume à :

$$\mathcal{C}_{AB} : \begin{cases} -\vec{F}_B \\ -\vec{M}_B \end{cases}$$

$$\text{ou } -\vec{F}_B = \begin{pmatrix} -x_B \\ -y_B \\ 0 \end{pmatrix} \begin{pmatrix} \vec{x}_0 \\ \vec{y}_0 \\ \vec{z}_0 \end{pmatrix} \quad \text{et } -\vec{M}_B = \vec{0}$$

Au point E, il vient $Z_E : \begin{cases} \vec{F}_E \\ \vec{M}_E \end{cases}$

La chemise 1 étant immobile et géométriquement parfaite, elle n'exerce aucun moment sur le piston 1.

Si le piston 1 est géométriquement parfait et que sa tête est plate, les gaz n'exercent aucun effort sur \vec{z}_0 . Le point de contact chemise-piston est donc situé sur une génératrice du piston dans le plan (\vec{x}_0, \vec{y}_0) . Soit E ce point, on suppose a priori que sa position est quelconque sur cette génératrice, nous verrons par la suite que cette position n'est pas quelconque et que dans l'étude théorique que nous menons le point E a forcément la même ordonnée que le point B.

Alors on pose :

$$F_E = \begin{pmatrix} x_E \\ 0 \\ 0 \end{pmatrix} \begin{pmatrix} \vec{x}_0 \\ \vec{y}_0 \\ \vec{z}_0 \end{pmatrix} \quad \text{et} \quad \vec{M}_E = \vec{0}$$

Torseur au point P₁ : $\begin{cases} \vec{F}_{P_1} \\ \vec{M}_{P_1} \end{cases}$

On suppose que la pression des gaz est uniformément répartie sur la tête du piston 1, et que le point d'application de l'effort résultant est centré sur la tête du piston. De ce fait les gaz n'exercent pas de moment sur le piston.

Si la tête est plate, il n'y a pas d'efforts sur \vec{x}_0 et \vec{z}_0 , les efforts dus au gaz sont uniquement dirigés sur $-\vec{y}_0$ et dépendent de θ .

Alors on pose :

$$-\vec{F}_{P_1}(\theta) = \begin{pmatrix} 0 \\ -Y_{P_1}(\theta) \\ 0 \end{pmatrix} \begin{pmatrix} \vec{x}_0 \\ \vec{y}_0 \\ \vec{z}_0 \end{pmatrix} \quad \text{et} \quad \vec{M}_{P_1} = \vec{0}$$

$$\text{où} \quad Y_{P_1}(\theta) = \frac{\pi D^2}{4} \cdot P(\theta)$$

3.2.2 EQUATIONS VECTORIELLES FONDAMENTALES DU PISTON 1

Nous appliquons au piston 1, les équations fondamentales de la dynamique:

$$\left\{ \begin{array}{l} m_{\text{piston 1}} \cdot \vec{\Gamma}(G_{P_1}/O) = \sum \vec{F}_{\text{ext}/\text{piston 1}} \quad \text{(I)} \\ \vec{S}^{\circ}(\text{piston 1}/G_{P_1}) = \sum m \vec{F}_{\text{ext}/G_{P_1}} \quad \text{(II)} \end{array} \right.$$

où $m_{\text{piston 1}} = m_{P_1}$

Le piston est un solide indéformable, son mouvement est une translation sur l'axe \vec{y}_0 , donc tous ses points ont même vitesse et même accélération, En particulier, le point G_{P_1} a la même accélération que le point B:

$$\vec{\Gamma}(G_{P_1}/O) = \vec{\Gamma}(B/O) = \vec{\Gamma}(B/(O, x_0, y_0, z_0)) \quad (\text{voir (22)})$$

2.1 Calcul du moment dynamique

$$\vec{\sigma}^{\circ}(\text{piston 1}/G_{P_1}) = \overline{\overline{I}}(\text{piston 1}/G_{P_1}) \cdot \vec{\Omega}(\text{piston 1}/(O, x_0, y_0, z_0))$$

$(G_{P_1}, \vec{x}_0, \vec{y}_0, \vec{z}_0)$

Et comme le piston n'a aucune rotation par rapport au repère $(O, \vec{x}_0, \vec{y}_0, \vec{z}_0)$ il vient:

$$\vec{\Omega}(\text{piston 1}/(O, \vec{x}_0, \vec{y}_0, \vec{z}_0)) = \vec{0}$$

Et

$$\vec{\Gamma}^{\circ}(\text{piston 1}/G_{P_1}) = \vec{0}$$

Et on a:

$$\vec{S}^{\circ}(\text{piston 1}/G_{P_1}) = \vec{0}$$

3.2.2 EQUATIONS VECTORIELLES FONDAMENTALES DU PISTON 1

Nous appliquons au piston 1, les équations fondamentales de la dynamique:

$$\left\{ \begin{array}{l} m_{\text{piston 1}} \cdot \vec{\Gamma}(G_{P1}/O) = \sum \vec{F}_{\text{ext}/\text{piston 1}} \quad (\text{I}) \\ \vec{\sigma}^0(\text{piston 1}/G_{P1}) = \sum m \vec{F}_{\text{ext}/G_{P1}} \quad (\text{II}) \end{array} \right.$$

où $m_{\text{piston 1}} = m_{P1}$

Le piston est un solide indéformable, son mouvement est une translation sur l'axe \vec{y}_0 , donc tous ses points ont même vitesse et même accélération. En particulier, le point G_{P1} a la même accélération que le point B:

$$\vec{\Gamma}(G_{P1}/O) = \vec{\Gamma}(B/O) = \vec{\Gamma}(B/(O, x_0, y_0, z_0)) \quad (\text{voir (22)})$$

2.1 Calcul du moment dynamique

$$\vec{\sigma}^0(\text{piston 1}/G_{P1}) = \overline{\overline{I(\text{piston 1}/G_{P1})}} \cdot \vec{\Omega}(\text{piston 1}/(O, x_0, y_0, z_0))$$

$(G_{P1}, \vec{x}_0, \vec{y}_0, \vec{z}_0)$

Et comme le piston n'a aucune rotation par rapport au repère $(O, \vec{x}_0, \vec{y}_0, \vec{z}_0)$ il vient:

$$\vec{\Omega}(\text{piston 1}/(O, \vec{x}_0, \vec{y}_0, \vec{z}_0)) = \vec{0}$$

Et

$$\vec{\sigma}^0(\text{piston 1}/G_{P1}) = \vec{0}$$

Et on a:

$$\vec{\sigma}^0(\text{piston 1}/G_{P1}) = \vec{0}$$

3.2.2.3. Calcul des moments des forces appliquées au piston 1

- Moment de la force $-\vec{F}_B/G_{P_1}$:

$$\vec{M}_{-\vec{F}_B/G_{P_1}} = \vec{M}_{-\vec{F}_B/B} + \vec{G}_{P_1}B \wedge -\vec{F}_B$$

Et comme $-\vec{F}_B$ passe par le point B Alors :

$$\vec{M}_{-\vec{F}_B/B} = \vec{0}$$

Et il vient après avoir exprimé $\vec{G}_{P_1}B$ et $-\vec{F}_B$ dans le repère $(0, \vec{x}_0, \vec{y}_0, \vec{z}_0)$

$$\vec{M}_{-\vec{F}_B/G_{P_1}} = \vec{0} + \begin{pmatrix} 0 \\ L_4 \\ 0 \end{pmatrix} \begin{pmatrix} \vec{x}_0 \\ \vec{y}_0 \\ \vec{z}_0 \end{pmatrix} \wedge \begin{pmatrix} -x_B \\ -y_B \\ 0 \end{pmatrix} \begin{pmatrix} \vec{x}_0 \\ \vec{y}_0 \\ \vec{z}_0 \end{pmatrix}$$

Et on obtient :

$$\vec{M}_{-\vec{F}_B/G_{P_1}} = \begin{pmatrix} 0 \\ 0 \\ L_4 x_B \end{pmatrix} \begin{pmatrix} \vec{x}_0 \\ \vec{y}_0 \\ \vec{z}_0 \end{pmatrix}$$

- Moment de la force \vec{F}_E/G_{P_1} :

$$\vec{M}_{\vec{F}_E/G_{P_1}} = \vec{M}_{\vec{F}_E/E} + \vec{G}_{P_1}E \wedge \vec{F}_E$$

et $\vec{M}_{\vec{F}_E/E} = \vec{0}$ car \vec{F}_E passe par E

$$\text{On obtient : } \vec{M}_{\vec{F}_E/G_{P_1}} = \vec{0} + \begin{pmatrix} D/2 \\ L_5 \\ 0 \end{pmatrix} \begin{pmatrix} \vec{x}_0 \\ \vec{y}_0 \\ \vec{z}_0 \end{pmatrix} \wedge \begin{pmatrix} x_E \\ 0 \\ 0 \end{pmatrix} \begin{pmatrix} \vec{x}_0 \\ \vec{y}_0 \\ \vec{z}_0 \end{pmatrix}$$

Et on aura :

$$\vec{M}_{\vec{F}_E/G_{P_1}} = \begin{pmatrix} 0 \\ 0 \\ -L_5 x_E \end{pmatrix} \begin{pmatrix} \vec{x}_0 \\ \vec{y}_0 \\ \vec{z}_0 \end{pmatrix}$$

- Moment de la force $-\vec{F}_p(\theta)/G_{P_1}$:

$$\vec{M}_{-\vec{F}_p(\theta)/G_{P_1}} = \vec{M}_{-\vec{F}_p(\theta)/P_1} + \vec{G}_{P_1} P_1 \wedge -\vec{F}_p(\theta)$$

Et $-\vec{F}_p(\theta)$ passe par le point P_1 donc : $\vec{M}_{-\vec{F}_p(\theta)/P_1} = \vec{0}$

Et on a :

$$\vec{M}_{-\vec{F}_p(\theta)/G_{P_1}} = \vec{0} + \begin{pmatrix} 0 \\ L_6 \\ 0 \end{pmatrix} \begin{pmatrix} \vec{x}_0 \\ \vec{y}_0 \\ \vec{z}_0 \end{pmatrix} \wedge \begin{pmatrix} 0 \\ -Y_p(\theta) \\ 0 \end{pmatrix} \begin{pmatrix} \vec{x}_0 \\ \vec{y}_0 \\ \vec{z}_0 \end{pmatrix}$$

Et
$$\vec{M}_{-\vec{F}_p(\theta)/G_{P_1}} = \vec{0} + \vec{0} = \vec{0}$$

3.2.3 EQUATIONS SCALAIRES DU PISTON 1.

Pour cela, il faut faire la projection des équations vectorielles sur les axes du repère $(O, \vec{x}_0, \vec{y}_0, \vec{z}_0)$.

La projection de l'équation (I) sur le repère $(O, \vec{x}_0, \vec{y}_0, \vec{z}_0)$ donne :

$$\begin{aligned} \text{projection sur } \vec{x}_0 : & \quad 0 = -XB + XE \\ \text{" " } \vec{y}_0 : & \quad m_{P_1} \ddot{y}_0 / (O, \vec{x}_0, \vec{y}_0, \vec{z}_0) = -YB - Y_p(\theta) \\ \text{" " } \vec{z}_0 : & \quad 0 = 0 \end{aligned}$$

La projection de l'équation (II) sur le repère $(O, \vec{x}_0, \vec{y}_0, \vec{z}_0)$ donne :

$$\begin{aligned} \text{sur } \vec{x}_0 : & \quad 0 = 0 \\ \text{sur } \vec{y}_0 : & \quad 0 = 0 \\ \text{sur } \vec{z}_0 : & \quad 0 = L_4 XB - L_5 XE \end{aligned}$$

Conclusion : L'étude dynamique du piston 2 a introduit
trois équations supplémentaires et une inconnue
supplémentaire

Si nous examinons le système d'équations, nous remarquons que
les deux équations i et ii ne sont compatibles que si
 $L_4 = L_5$, l'équation (I) est en trop
finalement l'étude dynamique du piston 1 nous donne donc
deux équations supplémentaires et une inconnue supplémentaire

En faisant le bilan, on voit qu'on a cinq équations avec
sept inconnues, il faut donc, faire l'étude dynamique
du solide voisin à la bielle est qui est la bielle.

3.3 ETUDE DYNAMIQUE DE LA BIELLETTTE

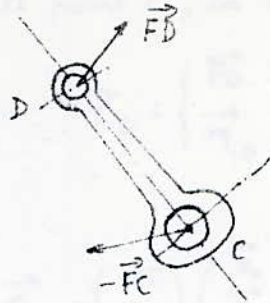


fig 3.4 Représentation des actions mécaniques appliquées à la bielle.

3.3.1 ANALYSE DES ACTIONS MÉCANIQUES APPLIQUÉES À LA BIELLETTTE

On isole la bielle, il ya deux actions mécaniques appliquées à celle-ci :

- L'action de la bielle au point C : \mathcal{T}_C
- L'action de l'axe du piston 2 en D : \mathcal{T}_D

La liaison du type venrou que nous avons en C nous permet d'écrire :

$$\begin{cases} -\vec{F}_C \cdot \vec{z}_0 = 0 \\ -\vec{m}_C \cdot \vec{z}_0 = 0 \end{cases}$$

Donc le torseur des actions mécaniques au point C se résume à :

$$\mathcal{T}_C : \begin{cases} -\vec{F}_C \\ -\vec{m}_C \end{cases}$$

où
$$-\vec{F}_C = \begin{pmatrix} -x_C \\ -y_C \\ 0 \end{pmatrix} \begin{pmatrix} \vec{x}_0 \\ \vec{y}_0 \\ \vec{z}_0 \end{pmatrix} \quad \text{et} \quad -\vec{m}_C = \vec{0}$$

ou A, B, C ont des moments, et donc axes \vec{x}_3, \vec{y}_3 et \vec{z}_3 .

De même que pour le point C, en D nous avons une liaison verrou :

$$\sum_D = \begin{cases} \vec{F}_D \\ \vec{m}_D \end{cases}$$

où

$$\vec{F}_D = \begin{pmatrix} x_D \\ y_D \\ 0 \end{pmatrix} \begin{pmatrix} \vec{x}_0 \\ \vec{y}_0 \\ \vec{z}_0 \end{pmatrix} \quad \text{et} \quad \vec{m}_D = \vec{0}$$

3.3.2 EQUATIONS VECTORIELLES FONDAMENTALES DE LA BIELLETTE

$$\begin{cases} m_{\text{biellette}} \cdot \vec{\Gamma}_{G_2 / (D, \vec{x}_0, \vec{y}_0, \vec{z}_0)} = \sum \vec{F}_{\text{ext} / \text{biellette}} & \text{(I)} \\ \vec{S}^3 (\text{biellette} / G_2) = \sum \vec{m}_{\vec{F}_{\text{ext} / G_2}} & \text{(II)} \end{cases}$$

où $m_{\text{biellette}} = m_{b2}$

et $\vec{S}^3 (\text{biellette} / G_2)$: moment dynamique de la biellette par rapport à son centre de gravité G_2 , exprimé dans le repère $(D, \vec{x}_3, \vec{y}_3, \vec{z}_3)$.

3.3.2.1 CALCUL DU MOMENT DYNAMIQUE DE LA BIELLETTE.

En procédant de la même façon que pour la bielle (3.1.2.1) et sachant que la biellette admet deux plans de symétries qui sont (\vec{x}_3, \vec{y}_3) et (\vec{x}_3, \vec{z}_3)

Alors il vient en appliquant [*] : $D = E = F = 0$

Et le tenseur d'inertie de la biellette s'écrit :

$$\overline{\overline{I}} (\text{biellette} / G_2)_{(G_2, \vec{x}_3, \vec{y}_3, \vec{z}_3)} = \begin{vmatrix} A & 0 & 0 \\ 0 & B & 0 \\ 0 & 0 & C \end{vmatrix}$$

où A, B, C sont les moments d'inertie de la biellette / G_2 par rapport aux axes \vec{x}_3, \vec{y}_3 et \vec{z}_3 .

Et comme $\vec{\Sigma}(\text{bielle}/G_2) = \dot{\psi} \cdot \vec{z}_0$

Alors le moment d'inertie s'écrit :

$$\begin{aligned} \vec{\sigma}^3(\text{bielle}/G_2) &= \overline{\overline{I}}(\text{bielle}/G_2) \cdot \vec{\Sigma}(\text{bielle}/G_2) \\ &= \begin{pmatrix} A & 0 \\ 0 & B & 0 \\ 0 & 0 & C \end{pmatrix} \cdot \begin{pmatrix} 0 \\ 0 \\ \dot{\psi} \end{pmatrix} \begin{pmatrix} \vec{x}_0 \\ \vec{y}_0 \\ \vec{z}_0 \end{pmatrix} \end{aligned}$$

Alors $\vec{\sigma}^3(\text{bielle}/G_2) = C \cdot \dot{\psi} \cdot \vec{z}_0$

posant $C = IZ_2$

Et sachant que IZ_2 : moment d'inertie de la bielle par rapport à l'axe $G_2 \vec{z}_0$.

donc $\vec{\sigma}^3(\text{bielle}/G_2) = IZ_2 \cdot \dot{\psi} \cdot \vec{z}_0$

Et il vient :

$$\begin{aligned} \vec{S}^3(\text{bielle}/G_2) &= \frac{d}{dt} (\vec{\sigma}^3(\text{bielle}/G_2)) \\ &= I Z_2 \cdot \ddot{\psi} \cdot \vec{z}_0 \end{aligned} \quad (25)$$

3.3.2.2 CALCUL DES MOMENTS DES FORCES APPLIQUEES A LA BIELLE/G₂

Puisque le moment dynamique est calculé par rapport au centre de gravité de la bielle, il faut ramener, les moments des forces extérieures appliquées sur la bielle au centre de gravité G_2 .

- Moment de la force $-\vec{FC}/G_2$

$$\vec{M}_{-\vec{FC}/G_2} = \vec{M}_{-\vec{FC}/C} + \vec{G_2C} \wedge (-\vec{FC})$$

Et comme $-\vec{FC}$ passe par C alors :

$$\vec{M}_{-\vec{FC}/C} = \vec{0}$$

Et il vient après avoir exprimé $\vec{G_2C}$ et $-\vec{FC}$ dans le repère $(O, \vec{x}_0, \vec{y}_0, \vec{z}_0)$

$$\vec{M}_{-\vec{FC}/G_2} = \vec{0} + \begin{pmatrix} -(L_2 - L_{42}) \sin(\psi + \alpha) \\ (L_2 - L_{42}) \cos(\psi + \alpha) \\ 0 \end{pmatrix} \wedge \begin{pmatrix} -XC \\ -YC \\ 0 \end{pmatrix} \begin{pmatrix} \vec{x}_0 \\ \vec{y}_0 \\ \vec{z}_0 \end{pmatrix}$$

$$\text{et } \vec{M}_{-\vec{FC}/G_2} = \begin{pmatrix} 0 \\ 0 \\ (L_2 - L_{42}) \sin(\psi + \alpha) YC + (L_2 - L_{42}) \cos(\psi + \alpha) XC \end{pmatrix} \begin{pmatrix} \vec{x}_0 \\ \vec{y}_0 \\ \vec{z}_0 \end{pmatrix} \quad (26)$$

- Moment de la force \vec{FD}/G_2

$$\vec{M}_{\vec{FD}/G_2} = \vec{M}_{\vec{FD}/D} + \vec{G_2D} \wedge \vec{FD}$$

Comme \vec{FD} passe par le point D on a alors :

$$\vec{M}_{\vec{FD}/D} = \vec{0}$$

Et il vient après avoir exprimé $\vec{G_2D}$ et \vec{FD} dans le repère $(O, \vec{x}_0, \vec{y}_0, \vec{z}_0)$

$$\vec{M}_{\vec{FD}/G_2} = \vec{0} + \begin{pmatrix} -L_{42} \sin(\psi + \alpha) \\ -L_{42} \cos(\psi + \alpha) \\ 0 \end{pmatrix} \wedge \begin{pmatrix} XD \\ YD \\ 0 \end{pmatrix} \begin{pmatrix} \vec{x}_0 \\ \vec{y}_0 \\ \vec{z}_0 \end{pmatrix}$$

$$\text{et } \vec{M}_{\vec{FD}/G_2} = \begin{pmatrix} 0 \\ 0 \\ L_{42} \sin(\psi + \alpha) YD + L_{42} \cos(\psi + \alpha) XD \end{pmatrix} \begin{pmatrix} \vec{x}_0 \\ \vec{y}_0 \\ \vec{z}_0 \end{pmatrix} \quad (27)$$

3.3.3 EQUATIONS SCALAIRES DE LA BIELLE

Pour avoir les équations scalaires, il suffit de faire la projection des équations vectorielles (I) et (II) sur les axes du repère $(O, \vec{x}_0, \vec{y}_0, \vec{z}_0)$

La projection de l'équation (I) sur le repère $(O, \vec{x}_0, \vec{y}_0, \vec{z}_0)$ donne :

$$\text{projection sur } \vec{x}_0 : mb_2 \ddot{X}_{G2} = -XC + XD \quad (28)$$

$$\text{" " } \vec{y}_0 : mb_2 \ddot{Y}_{G2} = -YC + YD \quad (29)$$

$$\text{" " } \vec{z}_0 : 0 = 0 \quad (30)$$

De même la projection de l'équation (II) sur le repère $(O, \vec{x}_0, \vec{y}_0, \vec{z}_0)$ donne :

$$\text{projection sur } \vec{x}_0 : 0 = 0 \quad (31)$$

$$\text{" " } \vec{y}_0 : 0 = 0 \quad (32)$$

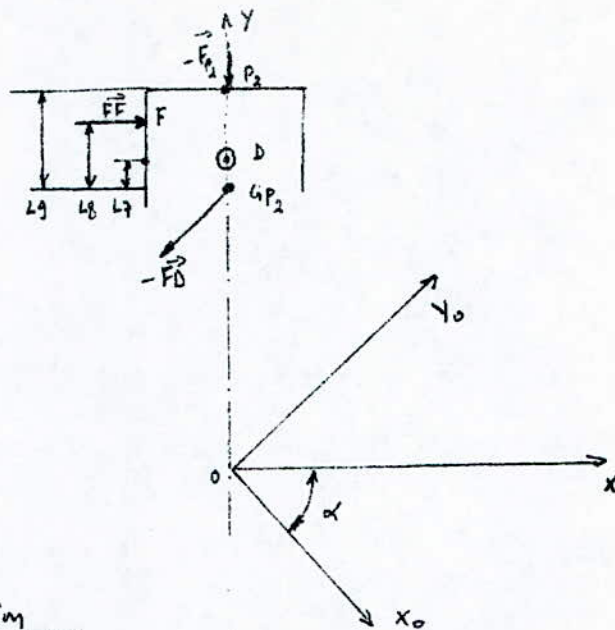
$$\text{" " } \vec{z}_0 : IZ_2 \ddot{\psi} = (L_2 - L_{G2}) \sin(\psi + \alpha) YC + (L_2 - L_{G2}) \cos(\psi + \alpha) XC + L_{G2} \sin(\psi + \alpha) YD + L_{G2} \cos(\psi + \alpha) XD. \quad (33)$$

Conclusion : L'étude dynamique de la bielle nous ramène le système à huit équations et neuf inconnues.

Il faut donc faire l'étude dynamique du solide voisin pour rendre le nombre d'équations égal au nombre d'inconnues

3.4 ETUDE DYNAMIQUE DU PISTON 2

3.4.1 ANALYSE DES ACTIONS MECANQUES APPLIQUEES AU PISTON 2



G_{P_2} : centre de gravité piston 2.

P_2 : point d'application de la résultante des gaz

fig. 3.5 Analyse des actions appliquées au piston 2.

On isole le piston 2, il ya trois actions mécaniques appliquées à celui-ci

- L'action de la bielle au point D : \mathcal{C}_D
- L'action de la chemise 2 au point F : \mathcal{C}_F
- L'action des gaz au point P_2 : \mathcal{C}_{P_2}

La liaison du type venrou que nous avons au point D , nous permet d'écrire

$$\begin{cases} -\vec{F}_D \cdot \vec{z}_0 = 0 \\ -M_D \cdot \vec{z}_0 = 0 \end{cases}$$

Et le torseur des actions mécaniques au point D se résume à :

$$\mathcal{C}_D : \begin{cases} -\vec{F}_D \\ -\vec{M}_D \end{cases}$$

où
$$-\vec{F}_D = \begin{pmatrix} -x_D \\ -y_D \\ 0 \end{pmatrix} \begin{pmatrix} \vec{x}_0 \\ \vec{y}_0 \\ \vec{z}_0 \end{pmatrix}, \text{ et } -\vec{m}_D = \vec{0}$$

Au point F, il vient $\Sigma_F : \begin{cases} \vec{F} \\ \vec{m}_F \end{cases}$

En raisonnant de la même manière que pour le piston 1, on saura que \vec{F} a une seule composante portée par l'axe \vec{x} , et comme le repère $(0, \vec{x}, \vec{y}, \vec{z})$ est une rotation autour de l'axe \vec{z} d'un angle α du repère $(0, \vec{x}_0, \vec{y}_0, \vec{z}_0)$. Il vient alors :

$$\vec{F} = \begin{pmatrix} XF \\ 0 \\ 0 \end{pmatrix} \begin{pmatrix} \vec{x} \\ \vec{y} \\ \vec{z} \end{pmatrix} = \begin{pmatrix} XF \cos \alpha \\ XF \sin \alpha \\ 0 \end{pmatrix} \begin{pmatrix} \vec{x}_0 \\ \vec{y}_0 \\ \vec{z}_0 \end{pmatrix}, \text{ et } \vec{m}_F = \vec{0}$$

Avec les mêmes hypothèses que pour le piston 1 (voir page. 29) On aura alors :

$$-\vec{F}_{P_2}(\theta) = \begin{pmatrix} 0 \\ -Y_{P_2}(\theta) \\ 0 \end{pmatrix} \begin{pmatrix} \vec{x} \\ \vec{y} \\ \vec{z} \end{pmatrix} \quad \text{où}$$

$$Y_{P_2} = (P(\theta + D) - P_0) \times S \quad \text{où}$$

- $P(\theta + D)$ pression du gaz dans le piston 2
- D : déphasage d'allumage par rapport au piston 1
- S : section du cylindre.
- P_0 : pression atmosphérique

Et en appliquant la formule de passage du repère $(0, \vec{x}, \vec{y}, \vec{z})$ au repère $(0, \vec{x}_0, \vec{y}_0, \vec{z}_0)$, il vient

$$-\vec{F}_{P_2}(\theta) = \begin{pmatrix} Y_{P_2}(\theta) \sin \alpha \\ -Y_{P_2}(\theta) \cos \alpha \\ 0 \end{pmatrix} \begin{pmatrix} \vec{x}_0 \\ \vec{y}_0 \\ \vec{z}_0 \end{pmatrix}$$

3.4.2 EQUATIONS VECTORIELLES FONDAMENTALES DU PISTON 2

Piston supposé solide indéformable, son mouvement est une translation sur l'axe \vec{Y} , donc tous ses points ont même vitesse et même accélération. En particulier le point G_{P_2} , qui a la même accélération que le point D.

$$\vec{\Gamma}_{G_{P_2}/(O, \vec{x}_0, \vec{y}_0, \vec{z}_0)} = \vec{\Gamma}_{G_{P_2}(D, \vec{x}_0, \vec{y}_0, \vec{z}_0)} \quad (\text{voir (23)}) \quad (34)$$

3.4.2.1 CALCUL DU MOMENT DYNAMIQUE DU PISTON 2.

moment cinétique :

$$\vec{\sigma}^0(\text{piston 2}/G_{P_2}) = \overline{\overline{I(\text{piston 2}/G_{P_2})}}_{(G_{P_2}, \vec{x}_0, \vec{y}_0, \vec{z}_0)} \cdot \vec{\Omega}(\text{piston 2}/(O, \vec{x}_0, \vec{y}_0, \vec{z}_0))$$

Et comme le piston 2 n'a aucune rotation dans le repère $(O, \vec{x}_0, \vec{y}_0, \vec{z}_0)$ il vient alors :

$$\vec{\Omega}(\text{piston 2}/(O, \vec{x}_0, \vec{y}_0, \vec{z}_0)) = \vec{0}$$

$$\text{et } \vec{\sigma}^0(\text{piston 2}/G_{P_2}) = \vec{0}$$

$$\text{et finalement : } \vec{\delta}^0(\text{piston 2}/G_{P_2}) = \vec{0}$$

Donc le moment dynamique du piston 2 / G_{P_2} dans le repère $(O, \vec{x}_0, \vec{y}_0, \vec{z}_0)$ est nul.

3.4.2.2. CALCUL DES MOMENTS DES FORCES APPLIQUÉES AU PISTON 2 / G_{P_2} .

- Moment de la force $-F_D/G_{P_2}$

$$\vec{M}_{-F_D/G_{P_2}} = \vec{M}_{-F_D/D} + \vec{G}_{P_2} D \wedge (-F_D)$$

Et comme $(-F_D)$ passe par le point D, alors :

$$\vec{M}_{-F_D/D} = \vec{0}$$

Et après avoir exprimé \vec{g}_{P_2} et $-\vec{F}_D$ dans le repère $(O, \vec{x}_0, \vec{y}_0, \vec{z}_0)$ il vient :

$$\vec{M}_{L-\vec{F}_D/G_{P_2}} = \vec{0} + \begin{pmatrix} L_7 \cos \alpha \\ -L_7 \sin \alpha \\ 0 \end{pmatrix} \begin{pmatrix} \vec{x}_0 \\ \vec{y}_0 \\ \vec{z}_0 \end{pmatrix} \wedge \begin{pmatrix} -XD \\ -YD \\ 0 \end{pmatrix} \begin{pmatrix} \vec{x}_0 \\ \vec{y}_0 \\ \vec{z}_0 \end{pmatrix}$$

$$\text{et } \vec{M}_{-\vec{F}_D/G_{P_2}} = \begin{pmatrix} 0 \\ 0 \\ L_7 \sin \alpha XD + L_7 \cos \alpha YD \end{pmatrix} \begin{pmatrix} \vec{x}_0 \\ \vec{y}_0 \\ \vec{z}_0 \end{pmatrix}$$

- Moment de la force \vec{F}_F/G_{P_2} dans le repère $(O, \vec{x}_0, \vec{y}_0, \vec{z}_0)$.

$$\vec{M}_{\vec{F}_F/G_{P_2}} = \vec{M}_{\vec{F}_F/F} + \vec{G}_{P_2} F \wedge \vec{F}_F$$

Comme \vec{F}_F passe par le point F alors :

$$\vec{M}_{\vec{F}_F/F} = 0$$

Et après avoir exprimé \vec{g}_{P_2} et \vec{F}_F dans le repère $(O, \vec{x}_0, \vec{y}_0, \vec{z}_0)$ il vient :

$$\vec{M}_{\vec{F}_F/G_{P_2}} = \vec{0} + \begin{pmatrix} D_2 \sin \alpha + L_8 \cos \alpha \\ -D_2 \cos \alpha + L_8 \sin \alpha \\ 0 \end{pmatrix} \begin{pmatrix} \vec{x}_0 \\ \vec{y}_0 \\ \vec{z}_0 \end{pmatrix} \wedge \begin{pmatrix} XF \cos \alpha \\ XF \sin \alpha \\ 0 \end{pmatrix} \begin{pmatrix} \vec{x}_0 \\ \vec{y}_0 \\ \vec{z}_0 \end{pmatrix}$$

Alors il vient :

$$\begin{aligned} \vec{M}_{\vec{F}_F/G_{P_2}} &= \begin{pmatrix} 0 \\ 0 \\ (D_2 \sin \alpha + L_8 \cos \alpha) \sin \alpha XF - (-D_2 \cos \alpha + L_8 \sin \alpha) \cos \alpha XF \end{pmatrix} \begin{pmatrix} \vec{x}_0 \\ \vec{y}_0 \\ \vec{z}_0 \end{pmatrix} \\ &= \begin{pmatrix} 0 \\ 0 \\ (D_2 \sin^2 \alpha + L_8 \cos \alpha \sin \alpha + D_2 \cos^2 \alpha - L_8 \sin \alpha \cos \alpha) XF \end{pmatrix} \begin{pmatrix} \vec{x}_0 \\ \vec{y}_0 \\ \vec{z}_0 \end{pmatrix} \end{aligned}$$

$$\vec{M}_{FF/GP_2} = \begin{pmatrix} 0 \\ 0 \\ D/2 \cdot XF \end{pmatrix} \begin{pmatrix} \vec{x}_0 \\ \vec{y}_0 \\ \vec{z}_0 \end{pmatrix} \quad (36)$$

- Moment de la force $-F_p(\theta)/G_{P_2}$.

$$\vec{M}_{-F_p(\theta)/G_{P_2}} = \vec{M}_{-F_p(\theta)/P_2} + G_{P_2} P_2 \wedge (-\vec{F}_p(\theta))$$

Et comme $(-\vec{F}_p(\theta))$ passe par le point P_2 , alors :

$$\vec{M}_{-F_p(\theta)/P_2} = \vec{0}$$

Et après avoir exprimé les vecteurs $G_{P_2} P_2$ et $-\vec{F}_p(\theta)$ dans le repère $(0, \vec{x}_0, \vec{y}_0, \vec{z}_0)$ il vient alors :

$$\begin{aligned} \vec{M}_{-F_p(\theta)/G_{P_2}} &= \vec{0} + \begin{pmatrix} L_g \cos \alpha \\ L_g \sin \alpha \\ 0 \end{pmatrix} \begin{pmatrix} \vec{x}_0 \\ \vec{y}_0 \\ \vec{z}_0 \end{pmatrix} \wedge \begin{pmatrix} Y_{P_2}(\theta) \sin \alpha \\ -Y_{P_2}(\theta) \cos \alpha \\ 0 \end{pmatrix} \begin{pmatrix} \vec{x}_0 \\ \vec{y}_0 \\ \vec{z}_0 \end{pmatrix} \\ &= \begin{pmatrix} 0 \\ 0 \\ -L_g Y_{P_2}(\theta) \cos^2 \alpha - L_g Y_{P_2}(\theta) \sin^2 \alpha \end{pmatrix} \begin{pmatrix} \vec{x}_0 \\ \vec{y}_0 \\ \vec{z}_0 \end{pmatrix} \\ \vec{M}_{-F_p(\theta)/G_{P_2}} &= \begin{pmatrix} 0 \\ 0 \\ -L_g Y_{P_2}(\theta) \end{pmatrix} \begin{pmatrix} \vec{x}_0 \\ \vec{y}_0 \\ \vec{z}_0 \end{pmatrix} \quad (37) \end{aligned}$$

$$\text{ou } Y_{P_2}(\theta) = \frac{\pi D^2}{4} P_0$$

3.4.3 EQUATIONS SCALAIRES DU PISTON 2

Par cela, il faut faire la projection des équations vectorielles sur les axes du repère $(O, \vec{x}_0, \vec{y}_0, \vec{z}_0)$

La projection de l'équation (I) sur le repère $(O, \vec{x}_0, \vec{y}_0, \vec{z}_0)$ donne :

$$\begin{aligned} \text{projection sur } \vec{x}_0 : & \quad m_p \ddot{X}_D = -X_D + XF \cos \alpha & (i) \\ \text{" } \vec{y}_0 : & \quad m_p \ddot{Y}_D = -Y_D + XF \sin \alpha & (ii) \\ \vec{z}_0 : & \quad 0 = 0 & (38) \end{aligned}$$

La projection de l'équation (II) sur le repère $(O, \vec{x}_0, \vec{y}_0, \vec{z}_0)$ donne :

$$\begin{aligned} \text{projection sur } \vec{x}_0 : & \quad 0 = 0 & (39) \\ \text{" } \vec{y}_0 : & \quad 0 = 0 & (40) \\ \text{" } \vec{z}_0 : & \quad 0 = L_7 \sin \alpha X_D + L_7 \cos \alpha Y_D + \frac{D_2}{2} XF - L_9 Y_p(\theta) & (41) \end{aligned}$$

Conclusion :

De ce système d'équation on va prendre uniquement les deux équations (i) et (ii)

Et elle suffise pour rendre le système globale résolvable puisqu'il devient un système de dix équations à dix inconnues.

Et pour pouvoir déterminer l'action sur les paliers il faut faire l'étude dynamique de la manivelle.

3.5 ETUDE DYNAMIQUE DE LA MANIVELLE

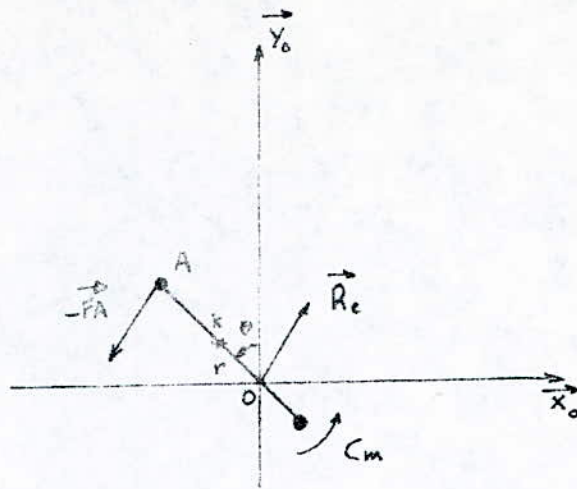


fig: 3.6 Représentation des actions mécaniques appliquées à la manivelle.

- où
- r : Rayon donnant position de K à partir de O
 - K : Centre de gravité de la manivelle
 - A : Articulation bielle - manivelle (maneton)
 - O : palier du vilebrequin (tourillon).

3.5.1 ANALYSE DES ACTIONS MÉCANIQUES APPLIQUÉES À LA MANIVELLE.

On isole la manivelle, il ya deux actions mécaniques appliquées à celle-ci

- L'action de la bielle sur le maneton au point A : Z_A
- L'action des paliers sur la manivelle au point O : Z_O

La liaison du type venrou que nous avons en A , permet d'écrire:

$$\begin{cases} -\vec{F}_A \cdot \vec{x}_0 = 0 \\ -\vec{m}_A \cdot \vec{x}_0 = 0 \end{cases}$$

Donc le torseur au point A se résume à :

$$\tau_A : \begin{cases} -\vec{F}_A \\ -\vec{m}_A \end{cases}$$

$$\text{où } -\vec{F}_A = \begin{pmatrix} -X_A \\ -Y_A \\ 0 \end{pmatrix} \begin{pmatrix} \vec{x}_0 \\ \vec{y}_0 \\ \vec{z}_0 \end{pmatrix} \quad \text{et } \vec{m}_A = \vec{0}$$

De même que pour le point A, en O, nous avons une liaison du type venou donc :

$$\tau_O = \begin{cases} \vec{R}_e \\ \vec{m}_e \end{cases}$$

$$\text{où } \vec{R}_e = \begin{pmatrix} X_e \\ Y_e \\ 0 \end{pmatrix} \begin{pmatrix} \vec{x}_0 \\ \vec{y}_0 \\ \vec{z}_0 \end{pmatrix} \quad \text{et } \vec{m}_e = \vec{0}$$

3.5.2 EQUATIONS VECTORIELLES FONDAMENTALES DE LA MANIVELLE.

Nous appliquons à la manivelle les équations fondamentales de la dynamique :

$$\begin{cases} m_m \cdot \vec{\Gamma}_{K/(O, \vec{x}_0, \vec{y}_0, \vec{z}_0)} = \sum \vec{F}_{\text{ext}/\text{manivelle}} & \text{(I)} \\ \vec{S}^1(\text{manivelle}/K) = \sum \vec{m}_{F_{\text{ext}}/K} & \text{(II)} \end{cases}$$

$$\text{où } m_m = m$$

et $\vec{S}^1(\text{manivelle}/K)$: moment dynamique de la manivelle par rapport à son centre de gravité K, exprimé dans le repère $(O, \vec{x}_0, \vec{y}_0, \vec{z}_0)$.

3.5.2.1 CALCUL DU MOMENT DYNAMIQUE DE LA MANIVELLE

La manivelle que nous avons choisie possède deux plans de symétries donc les produits d'inertie sont nuls, ce qui nous permet d'écrire

$$I_{(mani/k)} = \begin{pmatrix} A & 0 & 0 \\ 0 & B & 0 \\ 0 & 0 & C \end{pmatrix}$$

$(K, \vec{x}_1, \vec{y}_1, \vec{z}_1)$

Comme $\vec{\Omega}_{(mani/o)} = \begin{pmatrix} 0 \\ 0 \\ \dot{\theta} \end{pmatrix} \begin{pmatrix} \vec{x}_1 \\ \vec{y}_1 \\ \vec{z}_1 \end{pmatrix} = \omega \cdot \vec{z}_0$ avec $\vec{z}_1 = \vec{z}_0$.

Le moment cinétique de la manivelle devient :

$$\vec{D}_{(mani/k)} = \begin{pmatrix} A & 0 & 0 \\ 0 & B & 0 \\ 0 & 0 & C \end{pmatrix} \cdot \begin{pmatrix} 0 \\ 0 \\ \omega \end{pmatrix} \begin{pmatrix} \vec{x}_1 \\ \vec{y}_1 \\ \vec{z}_1 \end{pmatrix} = \begin{pmatrix} 0 \\ 0 \\ C \cdot \omega \end{pmatrix} \begin{pmatrix} \vec{x}_1 \\ \vec{y}_1 \\ \vec{z}_1 \end{pmatrix}$$

Le moment dynamique est nul car $\frac{d\omega}{dt} = 0$

3.5.2.2 CALCUL DES MOMENTS DES FORCES APPLIQUÉES A LA MANIVELLE.

On ramène les moments des forces extérieures au centre de gravité k de la manivelle

Moment de $-\vec{F}_A$

$$\begin{aligned} \vec{M}_{(-\vec{F}_A)/k} &= \vec{M}_{(-\vec{F}_A)/A} + K\vec{A} \wedge (-\vec{F}_A) \\ &= \vec{0} + (R-r)\vec{y}_1 \wedge \begin{pmatrix} -xA \\ -yA \\ 0 \end{pmatrix} \begin{pmatrix} \vec{x}_0 \\ \vec{y}_0 \\ \vec{z}_0 \end{pmatrix} \end{aligned}$$

avec $\vec{y}_1 = -\sin\theta \vec{x}_0 + \cos\theta \vec{y}_0$

Alors :

$$\begin{aligned} \vec{M}_{-\vec{F}_A/k} &= \begin{pmatrix} -(R-r) \sin \theta \\ (R-r) \cos \theta \\ 0 \end{pmatrix} \wedge \begin{pmatrix} \vec{x}_0 \\ \vec{y}_0 \\ \vec{z}_0 \end{pmatrix} \wedge \begin{pmatrix} -X_A \\ -Y_A \\ 0 \end{pmatrix} \begin{pmatrix} \vec{x}_0 \\ \vec{y}_0 \\ \vec{z}_0 \end{pmatrix} \\ &= \begin{pmatrix} 0 \\ 0 \\ (R-r)(X_A \cos \theta + Y_A \sin \theta) \end{pmatrix} \begin{pmatrix} \vec{x}_0 \\ \vec{y}_0 \\ \vec{z}_0 \end{pmatrix} \end{aligned}$$

- Moment de \vec{R}_e :

$$\begin{aligned} \vec{M}_{\vec{R}_e/k} &= \vec{M}_{\vec{R}_e/o} + \vec{k}O \wedge \vec{R}_e \\ &= \vec{0} - r \vec{y}_1 \wedge \begin{pmatrix} x_e \\ y_e \\ 0 \end{pmatrix} \begin{pmatrix} \vec{x}_0 \\ \vec{y}_0 \\ \vec{z}_0 \end{pmatrix} \end{aligned}$$

avec $\vec{y}_1 = -\sin \theta \vec{y}_0 + \cos \theta \vec{z}_0$

donc :

$$\vec{M}_{\vec{R}_e/k} = \begin{pmatrix} -r \sin \theta \\ -r \cos \theta \\ 0 \end{pmatrix} \begin{pmatrix} \vec{x}_0 \\ \vec{y}_0 \\ \vec{z}_0 \end{pmatrix} \wedge \begin{pmatrix} x_e \\ y_e \\ 0 \end{pmatrix} \begin{pmatrix} \vec{x}_0 \\ \vec{y}_0 \\ \vec{z}_0 \end{pmatrix}$$

d'où

$$\vec{M}_{\vec{R}_e/k} = \begin{pmatrix} 0 \\ 0 \\ r x_e \cos \theta + r y_e \sin \theta \end{pmatrix} \begin{pmatrix} \vec{x}_0 \\ \vec{y}_0 \\ \vec{z}_0 \end{pmatrix}$$

3.5.2.3 EQUATIONS SCALAIRES DE LA MANIVELLE.

On procède de la même façon que pour les autres organes

La projection de l'équation (I) donne :

$$\text{sur } \vec{X}_0 : m \cdot \omega^2 \cdot r \cdot \sin \theta = -X_A + X_e \quad (i)$$

$$\text{sur } \vec{Y}_0 : -m \cdot \omega^2 \cdot r \cdot \cos \theta = -Y_A + Y_e \quad (ii)$$

$$\text{" } \vec{Z}_0 : 0 = 0$$

La projection de l'équation (II) donne :

$$\text{sur } \vec{X}_0 : 0 = 0$$

$$\text{" } \vec{Y}_0 : 0 = 0$$

$$\text{" } \vec{Z}_0 : 0 = (R-r)(X_A \cos \theta + Y_A \sin \theta) + r(X_e \cos \theta + Y_e \sin \theta) + C_m$$

Conclusion: pour le calcul de X_e et Y_e , il suffit de connaître X_A et Y_A et injecter dans les équations (i) et (ii)

In fin de compte on obtient un système d'équations (12,12) qui va résoudre par la suite.

4. DETERMINATION DES ACTIONS MECANIQUES APPLIQUEES A L'EMBIELLAGE DU MOTEUR

Qui sont, $\vec{F}_A, \vec{F}_B, \vec{F}_C, \vec{F}_D, \vec{F}_E, \vec{F}_F, \vec{R}_e$, définit par leurs composantes respectives $(x_A, y_A); (x_B, y_B); (x_C, y_C); (x_D, y_D); (x_e, y_e); x_E; x_F$.

Pour cela on rassemblera les équations de chaque organe composant l'embellage du moteur, en un système de 12 équation à 12 inconnues.

Et on entamera la résolution de ce système, en prenant la précaution de désigner les facteurs par des variables qu'on définira par la suite, dans un but de simplification et de commodité pour le calcul et le traitement informatique.

Le système d'équations obtenu est :

Bielle :

$$\begin{cases} m b_1 \ddot{x}_{q1} = X_A + X_B + X_C \\ m b_1 \ddot{y}_{q1} = Y_A + Y_B + Y_C \\ I Z_1 \ddot{\psi} = (L_{q1} - L_1)(X_A \cos \psi + Y_A \sin \psi) + L_{q1}(X_B \cos \psi + Y_B \sin \psi) + (L_3 \sin(\psi + \beta) - (L_1 - L_{q1}) \sin \psi) Y_C \\ \quad + (L_3 \cos(\psi + \beta) - (L_1 - L_{q1}) \cos \psi) X_C \end{cases}$$

Piston 1 :

$$\begin{cases} 0 = -X_B + X_E \\ m p_1 \ddot{y}_B = -Y_B - Y p_1(\theta) \end{cases}$$

Bielle 2 :

$$\begin{cases} m b_2 \ddot{x}_{q2} = -X_C + X_D \\ m b_2 \ddot{y}_{q2} = -Y_C + Y_D \\ I Z_2 \ddot{\psi} = (L_2 - L_{q2}) \sin(\psi + \alpha) Y_C + (L_2 - L_{q2}) \cos(\psi + \alpha) X_C + L_{q2} \sin(\psi + \alpha) Y_D + L_{q2} \cos(\psi + \alpha) X_D \end{cases}$$

Piston 2 :

$$\begin{cases} m p_2 \ddot{x}_D = -X_D + X_F \cos \alpha + Y p_2(\theta) \sin \alpha \\ m p_2 \ddot{y}_D = -Y_D + X_F \sin \alpha - Y p_2(\theta) \cos \alpha \end{cases}$$

Manivelle :

$$\begin{cases} m \omega^2 r \sin \theta = -X_A + X_E \\ -m \omega^2 r \cos \theta = -Y_A + Y_E \end{cases}$$

Ainsi on voit qu'on a un système de 12 équations à 12 inconnues qui sont :

$$\underbrace{(X_A, Y_A)}_{FA} ; \underbrace{(X_B, Y_B)}_{FB} ; \underbrace{(X_C, Y_C)}_{FC} ; \underbrace{(X_D, Y_D)}_{FD} ; \underbrace{(X_E, Y_E)}_{FE} ; \underbrace{X_E}_{FE} ; \underbrace{X_F}_{FF} ; \underbrace{Y_F}_{FF}$$

Pour la résolution du système posons :

$$N_1 = m b_1 \ddot{x}_{G1}$$

$$N_2 = m b_1 \ddot{y}_{G1}$$

$$N_3 = I Z_1 \ddot{\psi}$$

$$N_4 = m p_1 \ddot{y}_B$$

$$N_5 = -Y_{P_1}(\theta) = -S(P(\theta) - P_0)$$

$$N_6 = I Z_2 \ddot{\psi}$$

$$N_7 = m b_2 \ddot{x}_{G2}$$

$$N_8 = m b_2 \ddot{y}_{G2}$$

$$N_9 = m p_2 \ddot{y}_D$$

$$N_{10} = m p_2 \ddot{x}_D$$

$$N_{11} = m \cdot \omega^2 \cdot r \cdot \sin \theta$$

$$N_{12} = Y_{P_2}(\theta) = S \cdot (P(\theta + D) - P_0)$$

$$N_{13} = -m \cdot \omega^2 \cdot r \cdot \cos \theta$$

$$M_1 = (L_2 - L_{G2}) \sin(\psi + \alpha)$$

$$M_2 = (L_2 - L_{G2}) \cos(\psi + \alpha)$$

$$M_3 = L_{G2} \sin(\psi + \alpha)$$

$$M_4 = L_{G2} \cos(\psi + \alpha)$$

$$K_1 = (L_{G1} - L_1) \cos \varphi$$

$$K_2 = (L_{G1} - L_1) \sin \varphi$$

$$K_3 = L_{G1} \cos \varphi$$

$$K_4 = L_{G1} \sin \varphi$$

$$K_5 = L_3 \cos(\psi + \beta) - (L_1 - L_{G1}) \cos \varphi$$

$$K_6 = L_3 \sin(\psi + \beta) - (L_1 - L_{G1}) \sin \varphi$$

Pour l'expression de N_7, N_8, N_9, N_{10}

On pose :

$$T_1 = R \omega^2 \sin \theta$$

$$T_2 = L_3 (\ddot{\psi} \cos(\psi + \beta) - \dot{\psi}^2 \sin(\psi + \beta))$$

$$T_3 = \ddot{\psi} \cos(\psi + \alpha) - \dot{\psi}^2 \sin(\psi + \alpha)$$

Et on a :

$$N_7 = m b_2 \cdot (T_1 + T_2 + (L_2 - L_{G2}) T_3)$$

$$N_{10} = m p_2 \cdot (T_1 + T_2 + L_2 T_3)$$

On pose aussi :

$$S_1 = -R \cdot \omega^2 \cdot \cos \theta$$

$$S_2 = L_3 (\ddot{\psi} \sin(\psi + \beta) + \dot{\psi}^2 \cos(\psi + \beta))$$

$$S_3 = \ddot{\psi} \sin(\psi + \alpha) + \dot{\psi}^2 \cos(\psi + \alpha)$$

On aura

$$N_8 = m b_2 \cdot (S_1 + S_2 + (L_2 - L_{G2}) S_3)$$

$$N_9 = m p_2 (S_1 + S_2 + L_2 \cdot S_3)$$

Et le système devient :

$$\begin{array}{l}
 (I) \left\{ \begin{array}{l}
 N_1 = XA + XB + XC \quad (a) \\
 N_2 = YA + YB + YC \quad (b) \\
 N_3 = K_1 XA + K_2 YA + K_3 XB + K_4 YB + K_5 XC + K_6 YC \quad (c) \\
 N_4 = N_5 - YB \quad (d) \\
 N_7 = -XC + XD \quad (e) \\
 N_8 = -YC + YD \quad (f) \\
 N_6 = M_1 YC + M_2 XC + M_3 YD + M_4 XD \quad (g) \\
 N_{10} = -XD + XF \cos \alpha + N_{12} \sin \alpha \quad (h) \\
 N_9 = -YD + XF \sin \alpha - N_{12} \cos \alpha \quad (i) \\
 N_{11} = -XA + XF \quad (j) \\
 N_{13} = -YA + YF \quad (k) \\
 0 = -XB + XF \quad (l)
 \end{array} \right.
 \end{array}$$

Pour résoudre le système (I) on procède de la manière suivante .

4.1. Détermination de YB :

- de l'équation (d) on tire YB

$$YB = N_5 - N_4$$

4.2. Détermination de XD .

- du système d'équation $\begin{cases} (h) \\ (i) \end{cases}$, on aura après avoir multiplié par $\sin \alpha$ les deux équations et en faisant la Σ

$$\text{Il viendra: } \begin{cases} XD \sin \alpha - YD \cos \alpha = N_9 \cos \alpha - N_{10} \sin \alpha + N_{12} (\sin^2 \alpha + \cos^2 \alpha) \\ XD \sin \alpha - YD \cos \alpha = N_9 \cos \alpha - N_{10} \sin \alpha + N_{12} \quad (a') \end{cases}$$

- du système $\begin{cases} (e) \\ (f) \end{cases}$ on a : $\begin{cases} X_C = X_D - N_7 \\ Y_C = Y_D - N_8 \end{cases}$

On injecte ces deux valeurs dans l'équation (g), on obtient une nouvelle équation en X_D et Y_D .

$$\begin{aligned} N_6 &= \pi_1 (Y_D - N_8) + \pi_2 (X_D - N_7) + \pi_4 X_D + \pi_3 Y_D \\ &= (\pi_1 + \pi_3) Y_D + (\pi_2 + \pi_4) X_D - \pi_1 N_8 - \pi_2 N_7 \end{aligned} \quad (b')$$

Et finalement avec l'équation (a') trouvée au début on aura un système de deux équations à deux inconnues X_D et Y_D

$$\text{II} \quad \begin{cases} \sin \alpha X_D - \cos \alpha Y_D = N_9 \cos \alpha - N_{10} \sin \alpha + N_2 \\ (\pi_2 + \pi_4) X_D + (\pi_1 + \pi_3) Y_D = N_6 + \pi_1 N_8 + \pi_2 N_7 \end{cases}$$

Le déterminant de ce système est :

$$\det(\text{II}) = \begin{vmatrix} \sin \alpha & -\cos \alpha \\ (\pi_2 + \pi_4) & (\pi_1 + \pi_3) \end{vmatrix} = (\pi_1 + \pi_3) \sin \alpha + (\pi_2 + \pi_4) \cos \alpha$$

En remplaçant π_1, π_2, π_3 et π_4 par leurs valeurs on obtient :

$$\begin{aligned} \det(\text{II}) &= [(L_2 - L_{42}) \sin(\psi + \alpha) + L_{42} \sin(\psi + \alpha)] \sin \alpha + [(L_2 - L_{42}) \cos(\psi + \alpha) \\ &\quad + L_{42} \cos(\psi + \alpha)] \cos \alpha \end{aligned}$$

$$= L_2 \sin \alpha \sin(\psi + \alpha) + L_2 \cos \alpha \cos(\psi + \alpha)$$

finalement :

$$\det(\text{II}) = L_2 [\sin \alpha \sin(\psi + \alpha) + \cos \alpha \cos(\psi + \alpha)]$$

$$\text{Det}(\Pi) = L_2 (\sin \alpha \sin(\psi + \alpha) + \cos \alpha \cos(\psi + \alpha))$$

Discutons cette équation et voyons dans quels cas le $\text{Det}(\Pi)$ s'annule.
Et quelle sera sa signification physique.

$$1^{\text{er}} \text{ cas : } L_2 = 0 \implies \text{Det}(\Pi) = 0$$

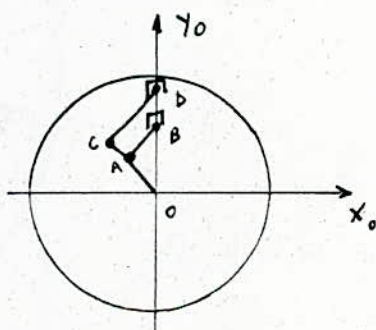
Ce cas n'est pas intéressant puisque on pose que la longueur de la bielle comme étant nulle

$$2^{\text{em}} \text{ cas : } \sin \alpha \sin(\psi + \alpha) + \cos \alpha \cos(\psi + \alpha) = 0$$

$$1^{\text{er}} \text{ sous cas : } \alpha = 0 \text{ et } \psi = \frac{\pi}{2} + k\pi \quad \text{où } k = 0, 1, 2, \dots$$

$$\text{Alors } \sin \alpha = 0 \text{ et } \cos(\psi + \alpha) = 0 \implies \text{Det}(\Pi) = 0$$

Ce qui nous donnerai une configuration pareille du système bielle-bielle

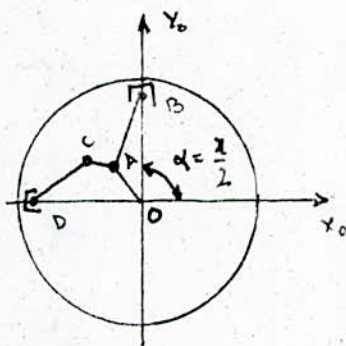


Et ce qui est impossible car si $\alpha = 0$, ψ ne peut être égale à $\frac{\pi}{2} + k\pi$ lors du fonctionnement du moteur car ψ est au alentours de π .

2^{em} cas : $\alpha = \frac{\pi}{2}$ et $\psi = \frac{k\pi}{2}$ et $k \in \mathbb{Z}^*$

Alors : $\cos \alpha = 0$ et $\sin(\psi + \alpha) = 0$

Et $\text{Det}(\text{II}) = 0$ ce qui nous donne la configuration suivante



Et on voit que si $\alpha = \frac{\pi}{2}$, alors ψ ne peut être égale à $k\frac{\pi}{2}$ car ψ prend des valeurs proche de π lors du fonctionnement du moteur

- En conclusion, on a démontré que le déterminant du système (II) ne peut être nul, et donc le système est résoluble.

$$\text{Et } x_D = \frac{\begin{vmatrix} N_9 \cos \alpha - N_{10} \sin \alpha + N_{12} & -\cos \alpha \\ N_6 + \Gamma_1 N_8 + \Gamma_2 N_7 & L_2 \sin(\psi + \alpha) \end{vmatrix}}{L_2 (\sin \alpha \sin(\psi + \alpha) + \cos \alpha \cos(\psi + \alpha))}$$

$$x_D = \frac{(N_9 \cos \alpha - N_{10} \sin \alpha + N_{12})(L_2 \sin(\psi + \alpha) + \cos \alpha (N_6 + \Gamma_1 N_8 + \Gamma_2 N_7))}{L_2 (\sin \alpha \sin(\psi + \alpha) + \cos \alpha \cos(\psi + \alpha))}$$

Et ainsi on a calculé x_D

Et de l'équation (b') on tire la valeur de Y_D

$$Y_D = \frac{N_6 + M_1 N_8 + T_2 N_7 - (L_2 \cos(\psi + \alpha)) X_D}{L_2 \sin(\psi + \alpha)}$$

4.3. Calcul de X_C

De l'équation (e) on tire,

$$X_C = X_D - N_7$$

4.4. Calcul de Y_C

De l'équation (f) on tire,

$$Y_C = Y_D - N_8$$

4.5. Calcul de Y_A

De l'équation (b) on tire

$$Y_A = N_2 - Y_B - Y_C$$

4.6. Calcul de X_F

De l'équation (h) on tire

$$X_F = \frac{(N_{10} + X_D - N_{12} \sin \alpha)}{\cos \alpha}$$

4.7. Calcul de Y_e

De l'équation (k) on tire

$$Y_e = N_{13} + Y_A$$

4.8. Calcul de X_B

De l'équation (a) on tire

$$X_A = N_1 - X_B - X_C$$

On remplace dans l'équation (c), on obtient

$$N_3 = K_1(N_1 - X_B - X_C) + K_2 Y_A + K_3 X_B + K_4 Y_B + K_5 X_C + K_6 Y_C$$

$$N_3 = K_1 N_1 - K_1 X_B - K_1 X_C + K_2 Y_A + K_3 X_B + K_4 Y_B + K_5 X_C + K_6 Y_C$$

Et on tire la valeur de X_B en fonction de X_C, Y_A, Y_B, Y_C déjà calculées

$$X_B = \frac{(K_1 N_1 + (K_5 - K_1) X_C + K_2 Y_A + K_4 Y_B + K_6 Y_C - N_3)}{K_1 - K_3}$$

4.9. Calcul de X_A

De l'équation (a) on a:

$$X_A = N_1 - X_B - X_C$$

4.10. Calcul de X_e

De l'équation (j) on tire

$$X_e = N_{11} + X_A$$

4.11. Calcul de X_E

De l'équation (l) on tire:

$$X_E = X_B$$

Et ainsi on a résolu le système, qui aboutit à la détermination de $X_A, Y_A, X_B, Y_B, X_C, Y_C, X_D, Y_D, X_E, X_F, X_e, Y_e$ en fonction de θ et des autres paramètres géométriques fixés du système d'emballage du moteur bielle-bielle.

Et on obtient les résultats suivants :

$$Y_B = N_5 - N_4$$

$$X_D = \frac{(N_9 \cos \alpha - N_{10} \sin \alpha + N_{12}) \cdot L_2 \cdot \sin(\psi + \alpha) + \cos \alpha (N_6 + \Gamma_1 N_8 + \Gamma_2 N_7)}{L_2 (\sin \alpha \sin(\psi + \alpha) + \cos \alpha \cos(\psi + \alpha))}$$

$$Y_D = \frac{N_6 + \Gamma_1 N_8 + \Gamma_2 N_7 - (L_2 \cos(\psi + \alpha)) X_D}{L_2 \sin(\psi + \alpha)}$$

$$X_C = -N_7 + X_D$$

$$Y_C = -N_8 + Y_D$$

$$Y_A = N_2 - Y_B - Y_C$$

$$X_F = \frac{N_{10} + X_D - N_{12} \sin \alpha}{\cos \alpha}$$

$$Y_E = N_{13} + Y_A$$

$$X_A = N_1 - X_B - X_C$$

$$X_B = \frac{K_1 N_1 + (K_5 - K_1) X_C + K_2 Y_A + K_4 Y_B + K_6 Y_C - N_3}{K_1 - K_3}$$

$$X_A = N_1 - X_B - X_C$$

$$X_E = N_{11} + X_A$$

$$X_E = X_B$$

Cet ordre est l'ordre de résolution lors du déroulement du programme pour le calcul.

Et il vient dans le repère fixe $(0, \vec{x}_0, \vec{y}_0, \vec{z}_0)$

$$\|\vec{F}_A\| = (x_A^2 + y_A^2)^{1/2}$$

$$\|\vec{F}_B\| = (x_B^2 + y_B^2)^{1/2}$$

$$\|\vec{F}_C\| = (x_C^2 + y_C^2)^{1/2}$$

$$\|\vec{F}_D\| = (x_D^2 + y_D^2)^{1/2}$$

$$\|\vec{F}_E\| = x_E$$

$$\|\vec{F}_F\| = x_F$$

$$\|\vec{R}_E\| = (x_E^2 + y_E^2)^{1/2}$$

Les coordonnées ainsi que les normes des vecteurs forces

$F_A, F_B, F_C, F_D, F_E, F_F, R_E$

peuvent être retrouvées dans les repères liés respectifs, en utilisant les formules de passage, établies au début de notre étude, dans le but de dimensionner et de repérer les points de graissage aux niveaux des articulations...

Dans la nécessité de déterminer la masse de la lielle mbr, et son moment d'inertie / Z_0 : $I \approx 1$.

On avait le choix entre les méthodes suivantes

- Graphique : dessine la lielle et on fait le calcul de volume par la méthode des aires et on détermine sa masse ainsi que son moment d'inertie
- pratique : on conçoit la lielle et on fait son pesage ainsi que la détermination du moment d'inertie par pendulation

Nous on a opté pour la deuxième méthode, mais vu la difficulté pour réaliser la lielle.

On a réalisé un modèle dans une matière facilement usinable (bois par exemple) et on a déterminé sa masse et son moment d'inertie / Z_0 et connaissant sa densité et connaissant la densité de la matière de la lielle réelle on a déterminé ainsi sa masse et son moment d'inertie / Z_0 et ceci dans un domaine d'incertitude à discuter.

Toutefois il faut savoir que même si on a réalisé la lielle par moulage ceci n'est toujours pas la lielle réelle car elle son conçue par déformation plastique (forgeage ou matricage) à chaud.

5. DETERMINATION DES CARACTERISTIQUES PHYSIQUES DE LA BIELLE

Pour résoudre le système d'équations, il faut connaître

- m_{b_1} : masse de la bielle
- L_1 : longueur de la bielle
- I_{Z_1} : qui est le moment d'inertie de la bielle par rapport à son centre de gravité G_1 par rapport à l'axe $\vec{Z}_1 = \vec{Z}_0$

Si nous n'avons que le plan de la bielle, il faut obligatoirement passer par une décomposition en un nombre finit d'éléments et faire un calcul préalable de volume. Si la bielle existe physiquement, on peut procéder par pesée et pendulage, et c'est le cas considéré.

5.1 Masse de la bielle

La bielle assemblée est composée du corps de bielle avec sa bague de pied de bielle, du chapeau de bielle, des deux demi-crochets de tête de bielle, des deux vis et des deux écrous

On procède par pesée simple, on aura m_{b_1} [kg]

5.2 Position du centre de gravité G_1

On détermine par pesée la masse de la tête de bielle m_1 à l'aide d'une balance (fig. 5.1):

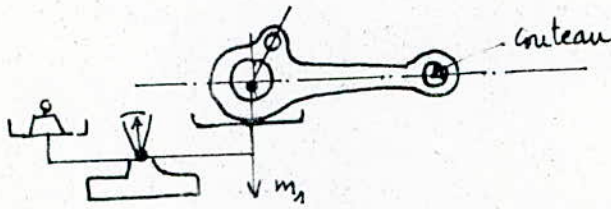


fig. 5.1. Masse de la tête de bielle

De même pour la masse du pied de bielle m_2 (fig. 5.2)

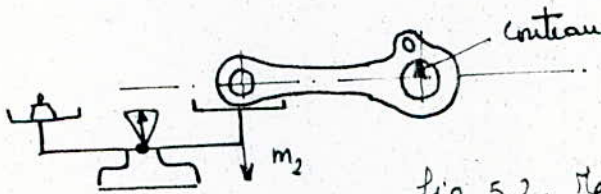


fig. 5.2. Masse du pied de bielle

La position du centre de gravité de la bielle à partir du pied de bielle sera (fig. 5.3):

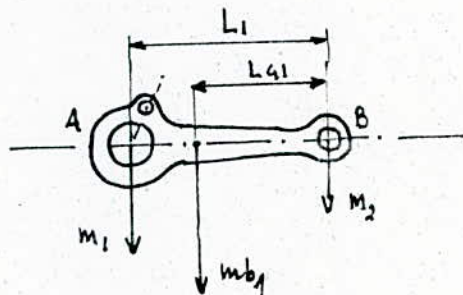


fig. 5.3. Position du centre de gravité de la bielle

Après avoir vérifié que $m_1 + m_2 = m_{b1}$ on aura après calcul par les moments/B

$$m_1 L_1 = m_{b1} L_{g1} \Rightarrow L_{g1} = L_1 \frac{m_1}{m_{b1}}$$

5.3 Moment d'inertie I_{Z_1} de la bielle

Le moment d'inertie sur l'axe Z_0 de la bielle par rapport à son centre d'inertie est déterminé par pendulage autour du point B' (fig. 5.3).

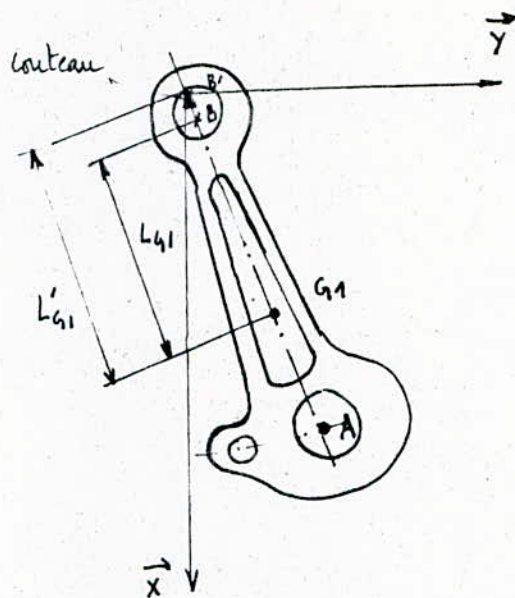


fig. 5.3 Mesure du moment d'inertie par pendulage

Si on prend la précaution de donner à la bielle de petites oscillations, on peut utiliser la formule donnant la période d'un pendule pesant trouvée lors de l'étude des pendules. On mesure le nombre d'oscillation pendant 1 minute et on trouve la période d'une oscillation (s).

La période du pendule pesant est :

$$T = 2\pi \sqrt{\frac{I_{B'}}{m_{b1} L'_{41} g}} \Rightarrow I_{B'} = \left(\frac{T}{2\pi}\right)^2 m_{b1} L'_{41} g \quad [\text{kg} \cdot \text{m}^2]$$

Pour ramener le moment d'inertie au centre de gravité on utilise la formule de Hygens :

$$I_{Z_1} = I_{B'} - m_{b1} L'_{41}{}^2 \quad [\text{kg} \cdot \text{m}^2]$$

On procède de la même pour la bielle.

Avant d'entamer l'étude thermodynamique on a fait les suppositions suivantes :

- Les pistons 1 et 2 ont les mêmes caractéristiques géométriques (diamètres, hauteur, ...)
- Les mêmes quantités de mélanges air - combustible entrent dans les deux chambres de combustion.
- Les deux chambres de combustion travaillent dans les mêmes conditions de pression et de températures.

Il faut savoir que le déplacement des deux pistons n'est pas le même et ceci à cause de certaines caractéristiques géométriques qui sont différentes.

En effet au P.M.H le piston 1 sera à une distance $(L_1 + R)$ du centre du vilebrequin O .

Tandis que dans le même cas le piston 2 sera à une distance de $L_2 + L_3 + R$ de O .

Et le déplacement des deux pistons s'exprime respectivement en fonction de ces distances.

- Dans la suite on fait l'étude thermodynamique pour le piston i où i est l'indice du piston 1 ou 2.

6 ETUDE THERMODYNAMIQUE DU MOTEUR

Le but de l'étude thermodynamique est de déterminer l'évolution de la pression du cycle en fonction de l'angle de rotation du vilebrequin. Pour cela on se base sur le cycle quasi-réel.

6.1 CYCLE QUASI-REEL

Cycle: C'est l'ensemble des évolutions que subit une masse du mélange air-essence depuis son entrée dans le cycle jusqu'à sa sortie dans l'atmosphère avec variation de volume, de pression et de température.

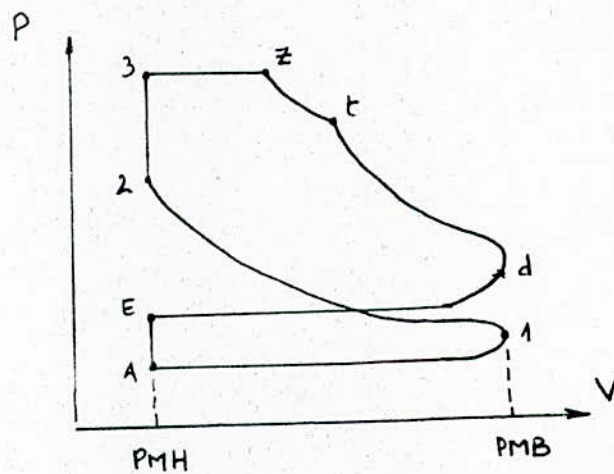


fig. 6.1. Cycle quasi réel.

6.2 DIFFERENTES PHASES DU CYCLE QUASI-REEL

Les phases principales du cycle quasi-réel sont :

- A-1 Admission à pression constante
- 1-2 Compression polytropique
- 2-3 Combustion à volume constant
- 3-2 Combustion à pression constante
- z-t détente isothermique
- t-d détente polytropique
- d-E échappement à pression constante.

6.3 EXPRESSION DE LA PRESSION PENDANT LES PHASES DU CYCLE

a. Admission :

En va d'établir une relation mathématique simple permettant la détermination de la pression pendant la phase d'admission. On doit prendre les suppositions suivantes.

- Gaz parfait
- écoulement isentropique
- admission isobarique
- l'ouverture de la soupape d'admission et la fermeture de la soupape d'échappement se font au point mort haut.

Ce qui donne

$$P_A = 1,03 P_0 \left[1 - \frac{N^2}{1,25 \cdot 10^8} \left(\frac{\epsilon - 0,5}{\epsilon - 1} \right) \right]^{\frac{\delta}{\delta - 1}}$$

Avec :

P_0 : pression atmosphérique en [atm]

N : vitesse de rotation du vilebrequin en [tr/mn]

ϵ : taux de compression du moteur

δ : coefficient adiabatique

P_A : Pression admission en [atm]

b: Compression

La compression a lieu entre le P.M.B et le P.M.H du piston considéré son évolution est polytropique d'exposant constant.

Connaissant les paramètres (pression et volume) en fin de l'admission l'équation d'état de la thermodynamique donne:

$$P_A V_A^{\delta_c} = P_i V_i^{\delta_c} \quad \text{d'où}$$

$$P_i = P_A \left(\frac{V_A}{V_i} \right)^{\delta_c}$$

δ_c : coefficient de polytropique pendant la compression
 P_A et V_A : sont la pression et le volume en fin d'admission
 P_i et V_i : sont la pression et le volume pendant la phase de compression du piston i.

$$\text{Et} \quad V_i = S_i \cdot X_i + V_A$$

S_i : Section du piston i ($S_1 = S_2$, voir page-64.)

X_i : déplacement du piston i à partir du P.M.H

par la suite on calculera le déplacement pour chaque piston

c: Combustion

C'est le processus qui se déroule dans la chambre de combustion entre l'instant du faiblissement de l'étincelle et l'instant de fin de combustion. C'est pendant cette phase que la pression atteint sa valeur maximale, elle est supposée constante, sa valeur est:

$$P_z \in [1,4 \div 2] P_2 \quad \text{où } P_2 \text{ pression à fin de compression.}$$

d. Détente

La détente est le seul temps moteur pendant le déroulement du cycle moteur.

- Détente isothermique : $x \rightarrow t$

La loi de Mariotte pour une détente isothermique donne :

$$P_{di} = P_x \cdot \frac{V_x}{V_i}$$

où V_x : volume en fin de combustion.

- Détente polytropique : $t \rightarrow d$

En appliquant la loi d'état de la thermodynamique pour une évolution polytropique, la pression pendant cette phase s'exprime par :

$$P_{di} = P_t \left(\frac{V_t}{V_i} \right)^{\gamma_d}$$

où

P_t, V_t pression et volume en fin de détente isothermique

e. Echappement

C'est la phase pendant laquelle se fait l'évacuation des gaz brûlés hors de la chambre de combustion.

P_E est donnée dans l'intervalle suivant : $[1,1 - 1,15]$ bars

6.4 CALCUL DES DEPLACEMENTS DES PISTONS 1 ET 2

6.4.1. DEPLACEMENT DU PISTON 1

Mouvement du piston
et de la bielle, fig 6.2

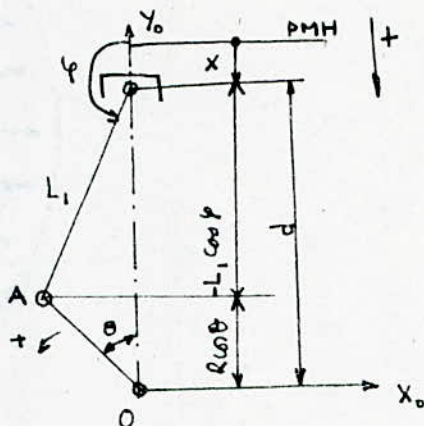


fig 6.2 déplacement piston 1

Nous nous proposons de calculer :

- l'élongation du piston d ,
- la position instantanée du piston x ,

Soit L_1 l'entraxe de la bielle et R le rayon de la manivelle.

En projetant le contour ABO sur l'axe y_0 nous obtenons :

$$\begin{aligned} d &= R \cos \theta + L_1 \cos(\pi - \varphi) \\ &= R \cos \theta - L_1 \cos \varphi \end{aligned}$$

$$\text{Or } R \sin \theta = L_1 \sin \varphi$$

et la relation (11) donne $\cos \varphi = \left(1 - \frac{R^2}{L_1^2} \sin^2 \theta\right)^{1/2}$

$\cos \varphi$ est toujours ou positif ou nul

en pratique $\frac{R}{L_1}$ est voisin de 0,3 donc $\left(\frac{R}{L_1}\right)^2 \approx 0,1$

En faisant le développement en série de

$$\cos \varphi = 1 - \frac{1}{2} \left(\frac{R}{L_1} \right)^2 \sin^2 \theta - \frac{1}{8} \left(\frac{R}{L_1} \right)^4 \sin^4 \theta - \frac{1}{16} \left(\frac{R}{L_1} \right)^6 \sin^6 \theta + \dots$$

$$\text{Or } \sin^2 \theta = \frac{1}{2} - \frac{1}{2} \cos 2\theta$$

$$\sin^4 \theta = \frac{3}{8} - \frac{1}{2} \cos 2\theta + \frac{1}{8} \cos 4\theta$$

$$\sin^6 \theta = \frac{5}{16} - \frac{15}{32} \cos 2\theta + \frac{3}{16} \cos 4\theta - \frac{1}{32} \cos 6\theta$$

$$\text{d'où } \cos \varphi = a'_0 + a'_2 \cos 2\theta + a'_4 \cos 4\theta + a'_6 \cos 6\theta + \dots$$

les coefficients a'_0, a'_2, a'_4, \dots , étant respectivement égaux à :

$$a'_0 = 1 - \left[\frac{1}{4} \left(\frac{R}{L_1} \right)^2 + \frac{3}{64} \left(\frac{R}{L_1} \right)^4 + \frac{5}{256} \left(\frac{R}{L_1} \right)^6 + \dots \right]$$

$$a'_2 = \left[\frac{1}{4} \left(\frac{R}{L_1} \right)^2 + \frac{1}{16} \left(\frac{R}{L_1} \right)^4 + \frac{15}{512} \left(\frac{R}{L_1} \right)^6 + \dots \right]$$

$$a'_4 = - \left[\frac{1}{64} \left(\frac{R}{L_1} \right)^4 + \frac{3}{256} \left(\frac{R}{L_1} \right)^6 + \dots \right]$$

$$a'_6 = \left[\frac{1}{512} \left(\frac{R}{L_1} \right)^6 + \dots \right]$$

Nous en déduisons : $d = R \left(\cos \theta + \frac{L_1}{R} (a'_0 + a'_2 \cos 2\theta + a'_4 \cos 4\theta + \dots) \right)$

En posant : $a_0 = \frac{L_1}{R} a'_0$; $a_2 = \frac{L_1}{R} a'_2$; $a_4 = \frac{L_1}{R} a'_4$, ...

Nous obtenons :

$$d = R (a_0 + \cos \theta + a_2 \cos 2\theta + a_4 \cos 4\theta + a_6 \cos 6\theta + \dots)$$

Et

$$x = R \left(\frac{L_1}{R} + 1 - (a_0 + \cos \theta + a_2 \cos 2\theta + a_4 \cos 4\theta + \dots + a_{2n} \cos 2n\theta + \dots) \right)$$

Expression approchée du déplacement du piston 1, on va jusqu'à l'ordre 2.

$$x \approx R \left[1 - \cos \theta + \frac{1}{4} \frac{R}{L_1} (1 - \cos 2\theta) \right]$$

6.43. RECAPITULATIF DE LA PRESSION EN FONCTION DE θ
DANS LES DEUX PISTONS 1 ET 2

$$x_1 = \left(R + \frac{R^2}{4L_1} \right) - R \left(\cos \theta + \frac{R}{4L_1} \cos 2\theta \right)$$

$$x_2 = R(1 - \cos(\theta + \alpha)) + L_3(1 + \cos(\psi + \beta - \alpha)) + L_2(1 + \cos \psi)$$

$$V_i = S \cdot x_i + V_A$$

Admission :
$$P_A = 1,03 P_0 \left(1 - \frac{N^2}{1,25 \cdot 10^8} \cdot \frac{\varepsilon - 0,5}{\varepsilon - 1} \right)^{\frac{\gamma}{\gamma - 1}}$$

Compression :
$$P_{di} = P_A \left(\frac{V_A}{V_i} \right)^{\gamma_c}$$

Combustion :
$$P_2 = [1,4 \bar{a} 2] \times P_1$$

Détente : - isothermique
$$P_{di} = P_2 \cdot \frac{V_2}{V_i}$$

- polytropique
$$P_{di} = P_2 \left(\frac{V_2}{V_i} \right)^{\gamma_d}$$

Echappement :
$$P_E = [1,1 \bar{a} 1,15] \text{ bars.}$$

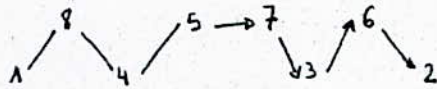
7. DETERMINATION DU DEPHASAGE

DANS L'ALLUMAGE ENTRE LES PISTON 1 et 2

Prenons l'exemple d'un moteur en V à 8 cylindres
 et plus précisément le cas du moteur FBL 413

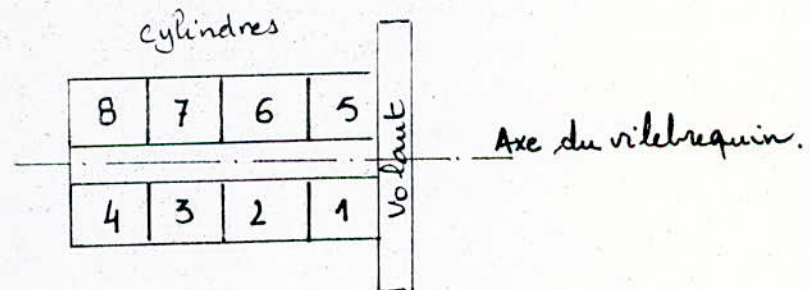
7.1 Ordre d'allumage d'un moteur V8 : FBL 413

L'ordre d'allumage choisit par le constructeur



qui rentre dans la détermination du couple moteur.

7.2 Numérotation des cylindres.



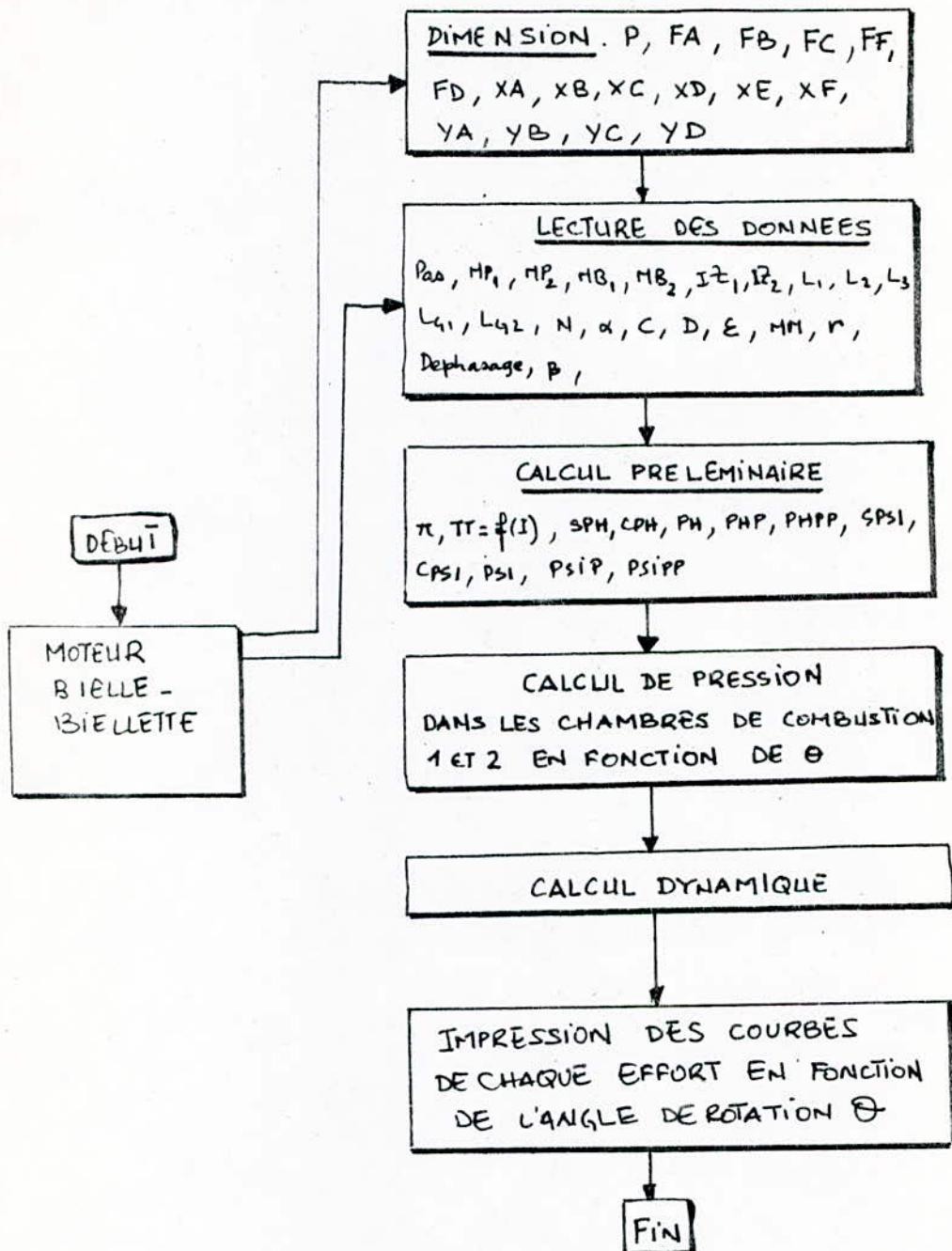
Si on choisit le piston 1, le piston articulé à la lielle portant le piston 1 sera le piston 5.

7.3 Détermination du déphasage - D.

Après avoir choisi l'ordre d'allumage et sachant que deux tours du vilebrequin font 720° , alors, le déphasage entre le piston 1 et le piston 2 qui dans notre cas le piston 5, sera de 450°

$$D = 450^\circ$$

8. ORGANIGRAMME GLOBALE



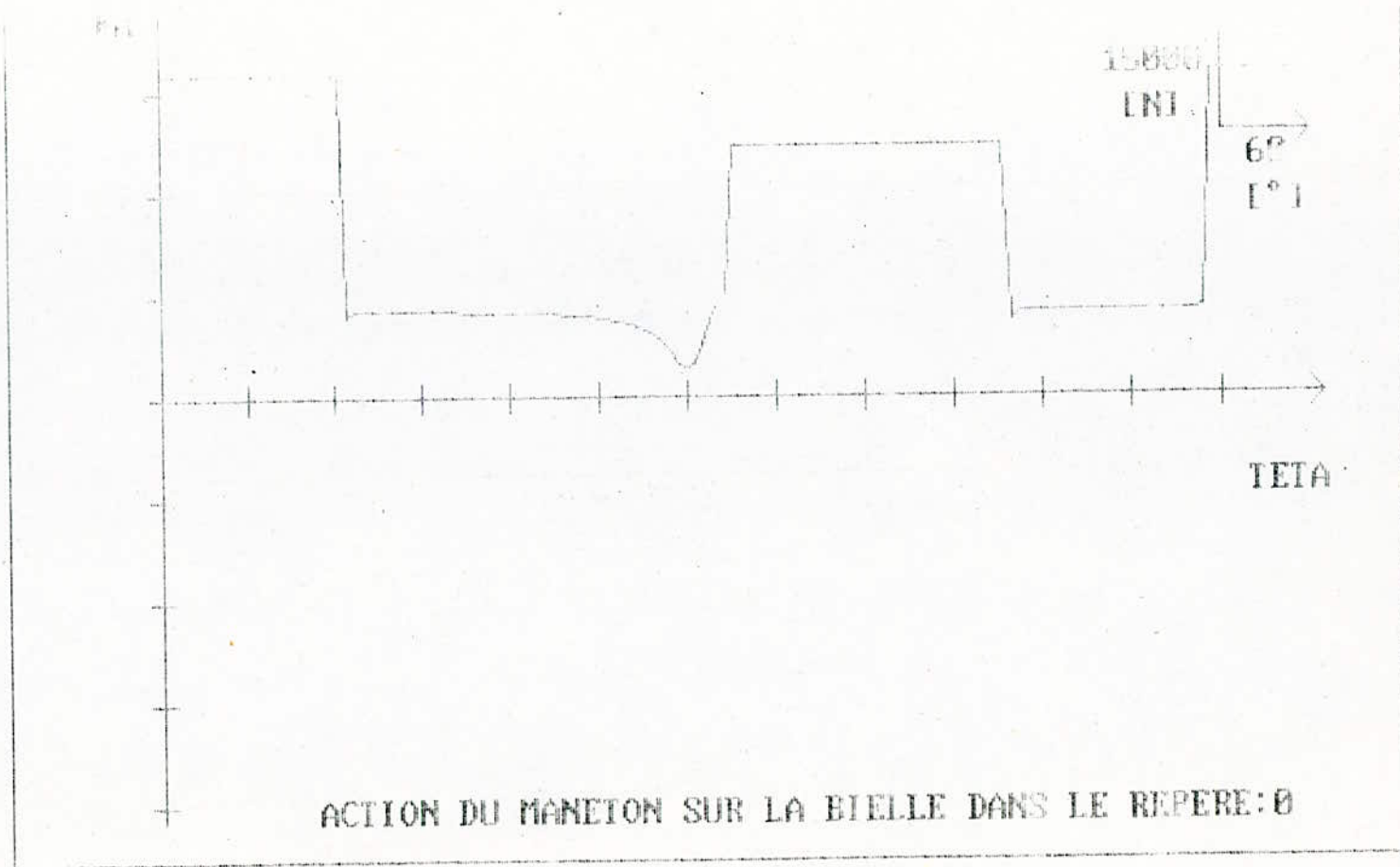
ANNEXE

Cette annexe est application pour notre étude

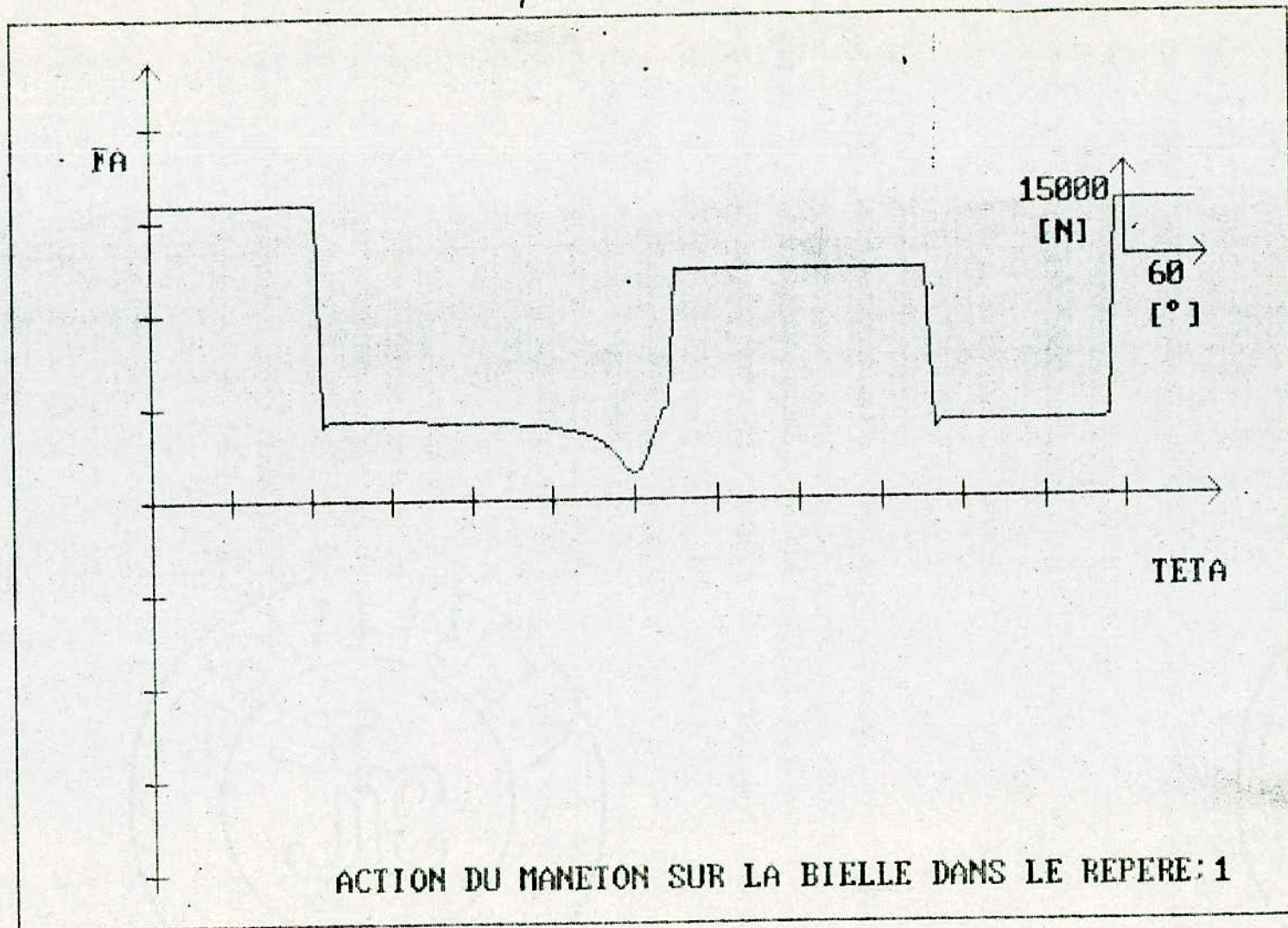
Moteur choisit est le FBL 413.

Données sont :

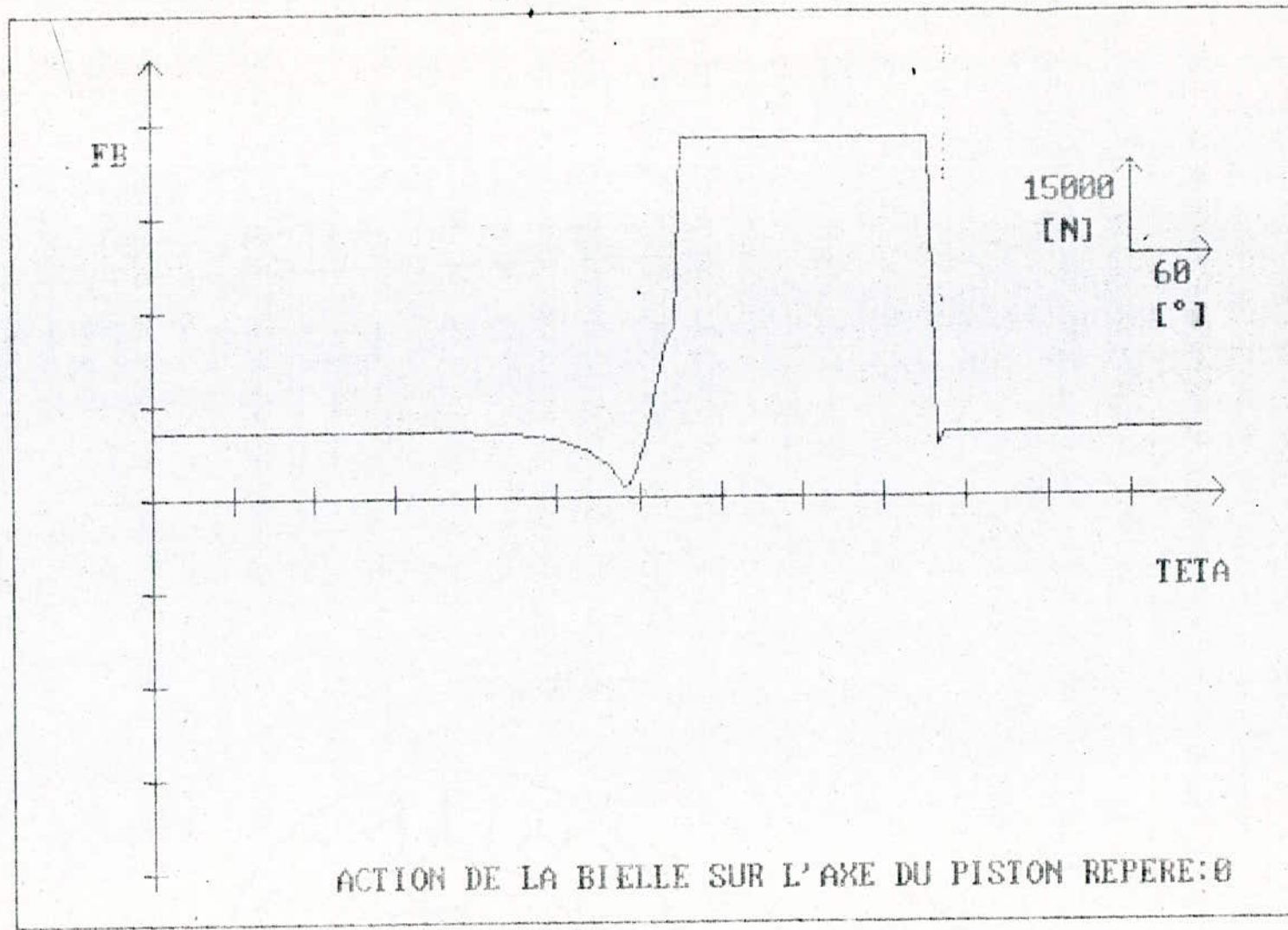
Pas de calcul	$P = 5$
Masse piston 1	$m_{p1} = 1,4 \text{ kg}$
Masse piston 2	$m_{p2} = 1,4 \text{ kg}$
Masse bielle	$m_{b1} = 1,8 \text{ kg}$
Entraxe bielle	$L_1 = 0,3 \text{ m}$
Position C.G. bielle	$L_{G1} = 0,21 \text{ m}$
Taux de compression	$E = 17$
Alésage piston 1 et 2	$D = 0,1 \text{ m}$
Course piston 1 et 2	$C = 0,12 \text{ m}$
Vitesse de rotation moteur	$N = 2800 \text{ tr/mn}$
Moment d'inertie bielle/ Z_0	$I_{Z1} \approx 300 \text{ kg.m}^2$
Distance de l'œil/A	$L_3 = 0,07 \text{ m}$
Entraxe biellette	$L_2 = 0,23 \text{ m}$
Position C.G. biellette	$L_{G2} = 0,15 \text{ m}$
Masse biellette	$m_{b2} = 1,5 \text{ kg}$
Angle du V	$\alpha = 72^\circ$
Moment d'inertie biellette/ Z_0	$I_{Z2} = 200 \text{ kg.m}^2$
Position C.G. manivelle/O	$R1 = 0,02 \text{ m}$
Masse de la manivelle	$m_m = 2 \text{ kg}$
Angle (\vec{AC}, \vec{AB})	$\beta = 80^\circ$
dephasage d'allumage entre deux piston d'une même rangée	$\text{dephas} = 420^\circ$



10 USE 2 RING 3 LOAD 4 SAUF 5 ONTE 6 DEPI 7 IRONE 8 ROLE 9 KEY 0 SCREEN

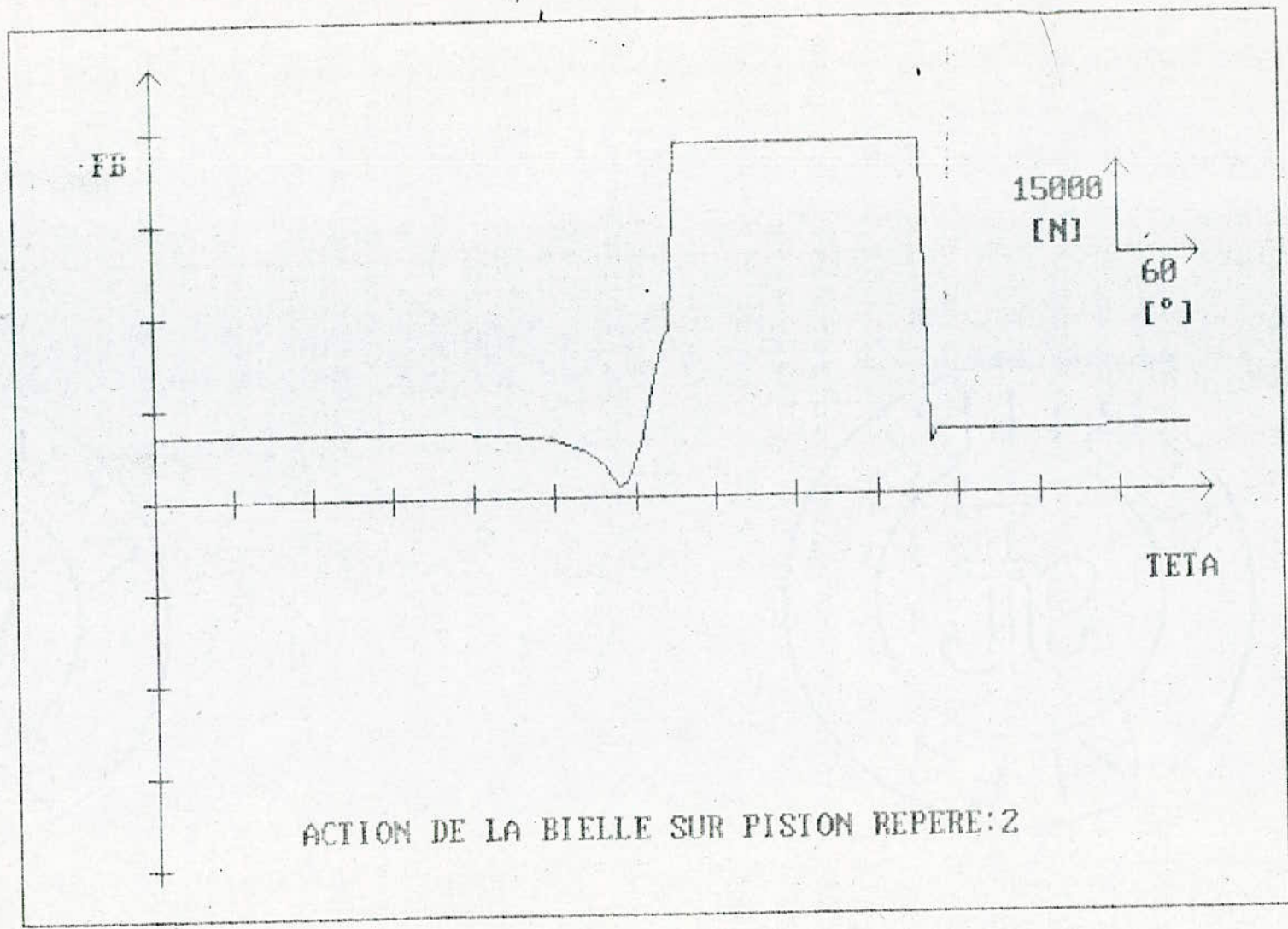


1 [] 2 [] 3 [] 4 [] 5 [] 6 [] 7 [] 8 [] 9 [] 0 []



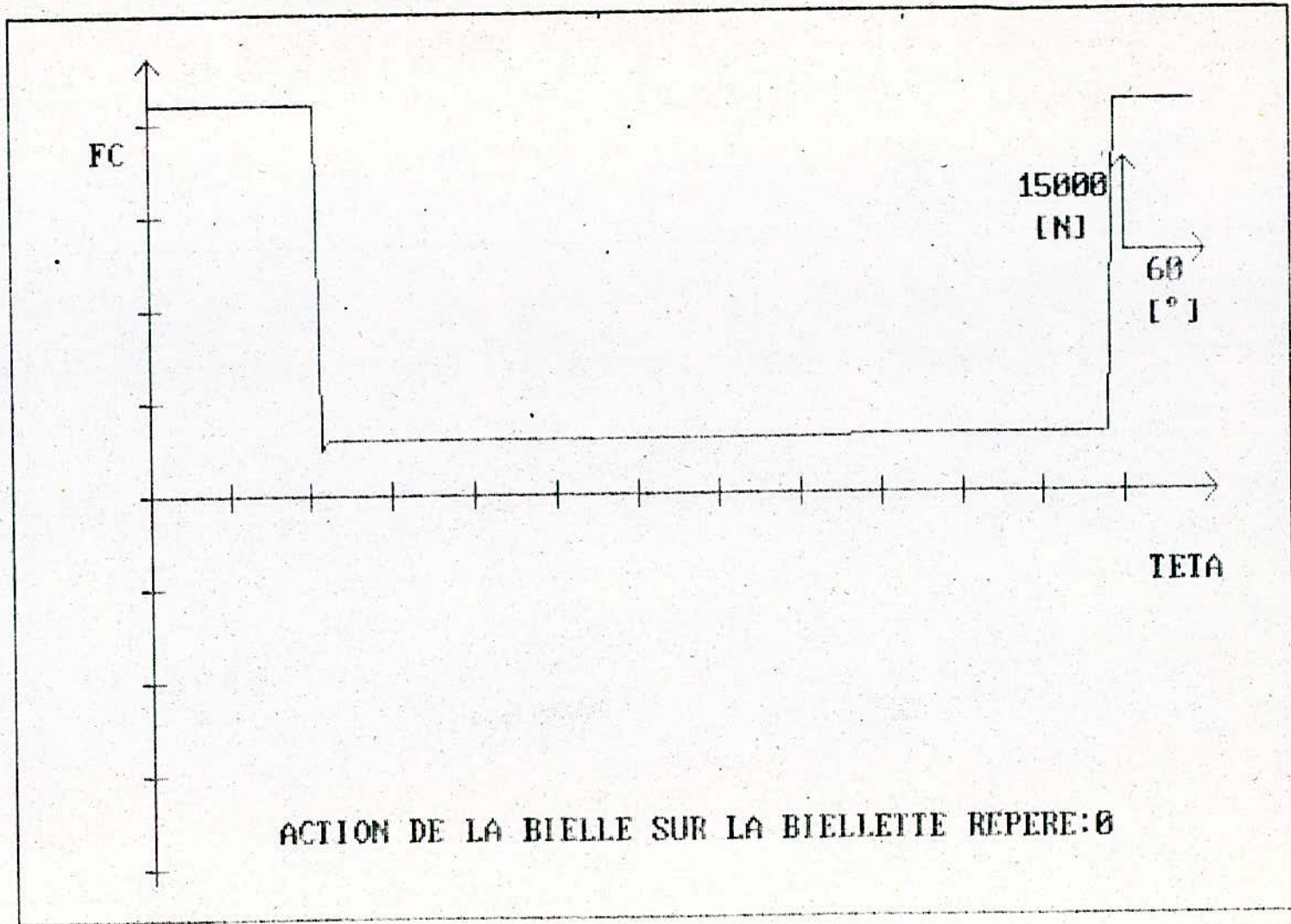
ACTION DE LA BIELLE SUR L'AXE DU PISTON REPERE: 0

- 1 [TEST]
- 2 [RUNG]
- 3 [LOAD]
- 4 [SAVE]
- 5 [CONT]
- 6 [LAP]
- 7 [TRON]
- 8 [ROBT]
- 9 [KEY]
- 0 [SCREEN]



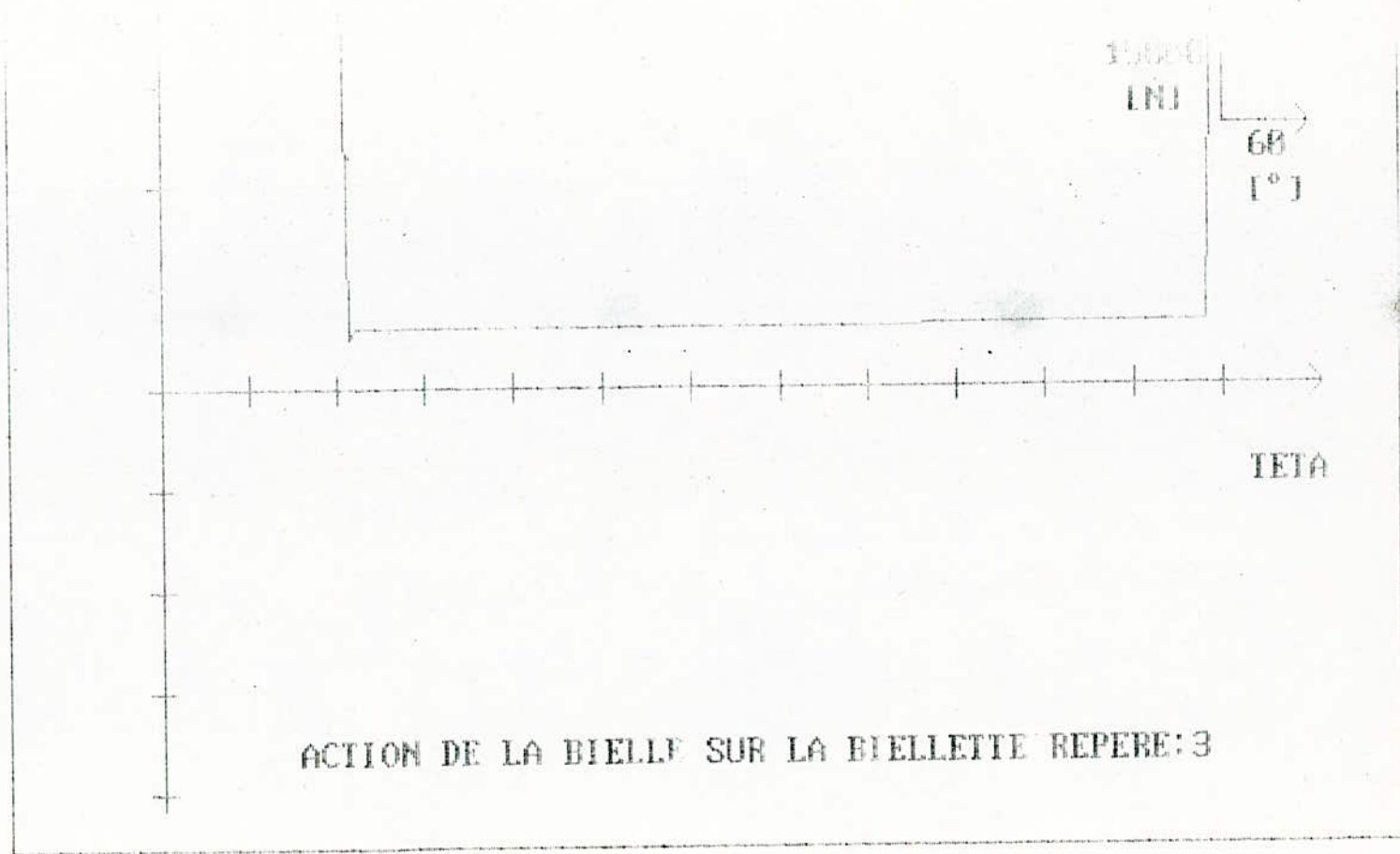
ACTION DE LA BIELLE SUR PISTON REPERE:2

1[LIST] 2[RUN] 3[LOAD] 4[SAVE] 5[CONT] 6[EXIT] 7[ROUN] 8[ROUN] 9[END] 0[SCREEN]

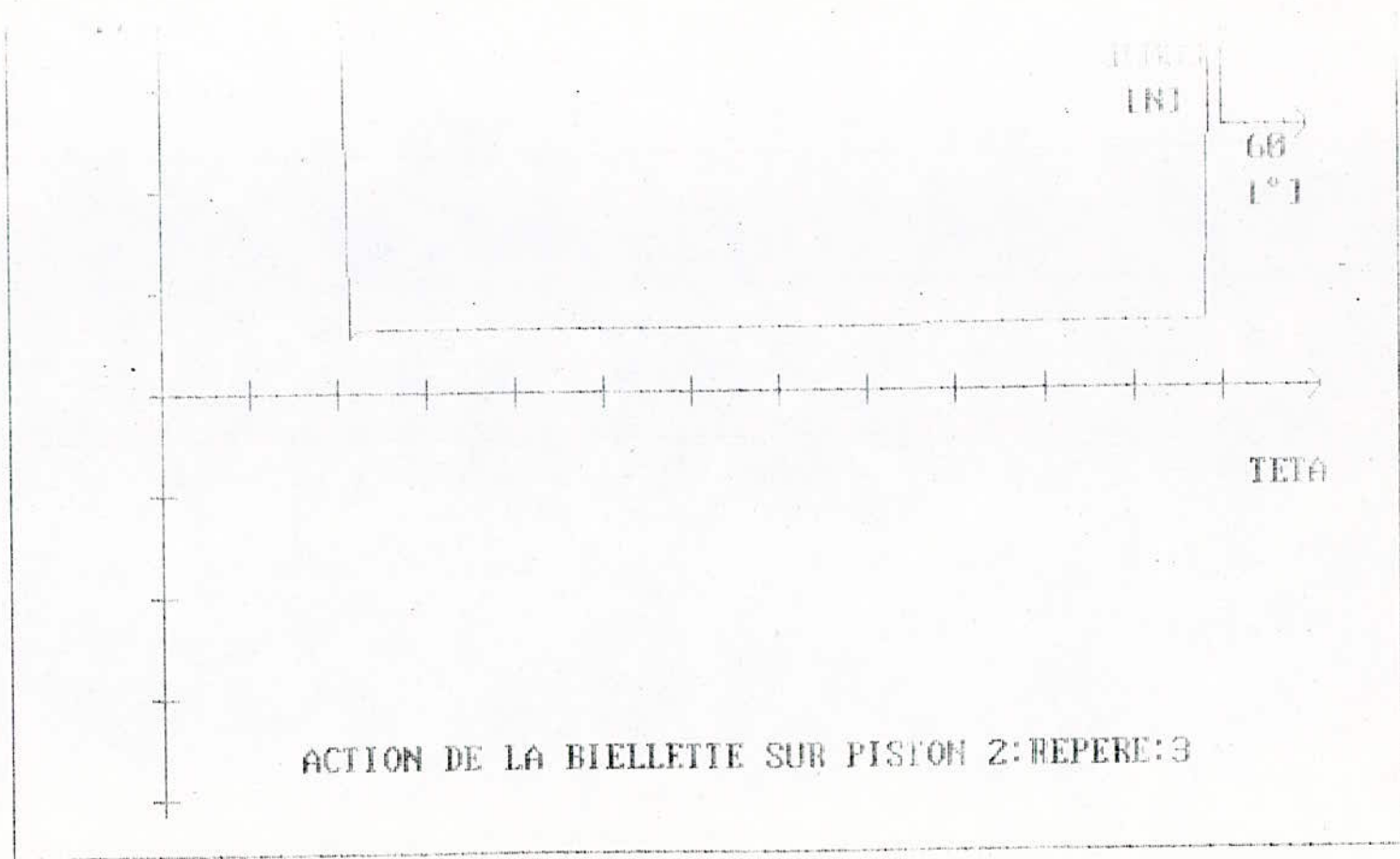


ACTION DE LA BIELLE SUR LA BIELLETTE REPERE: 0

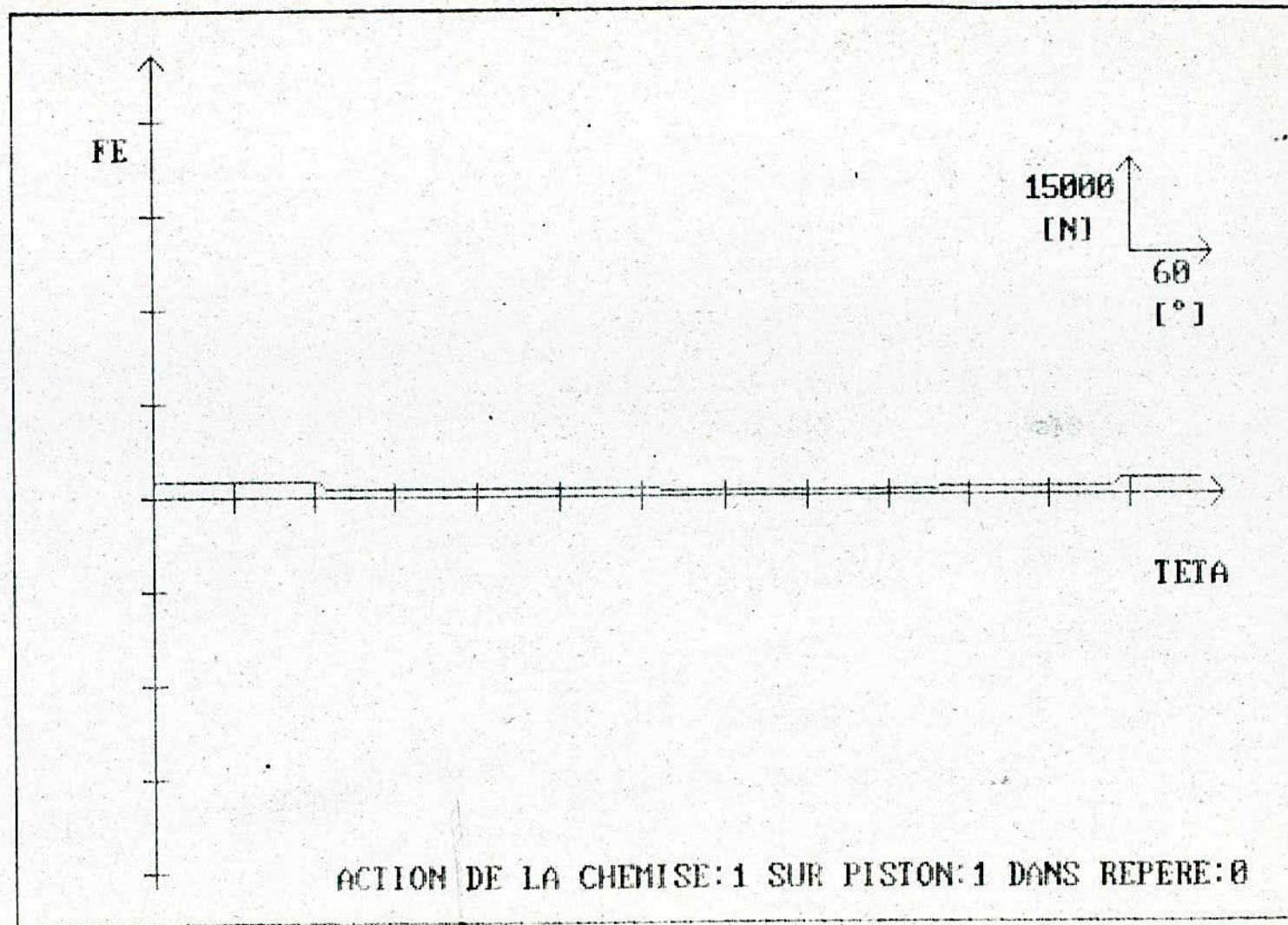
1 [TEST] 2 [RUN] 3 [LOAD] 4 [SAVE] 5 [CONT.] 6 [MENU] 7 [HOME] 8 [ROTT] 9 [KEY] 0 [SCREEN]



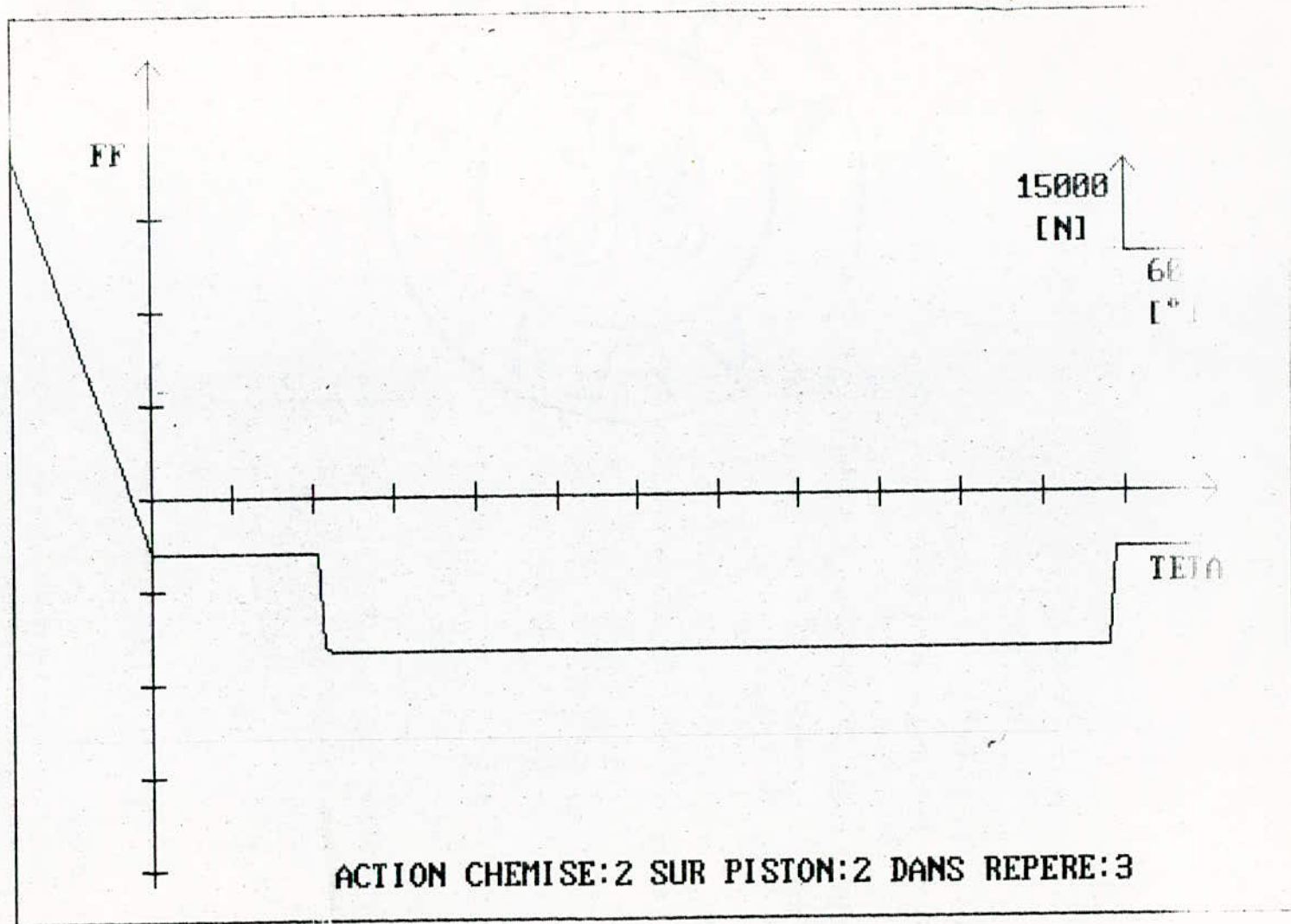
1 [] 2 [] 3 [] 4 [] 5 [] 6 [] 7 [] 8 [] 9 [] 10 []



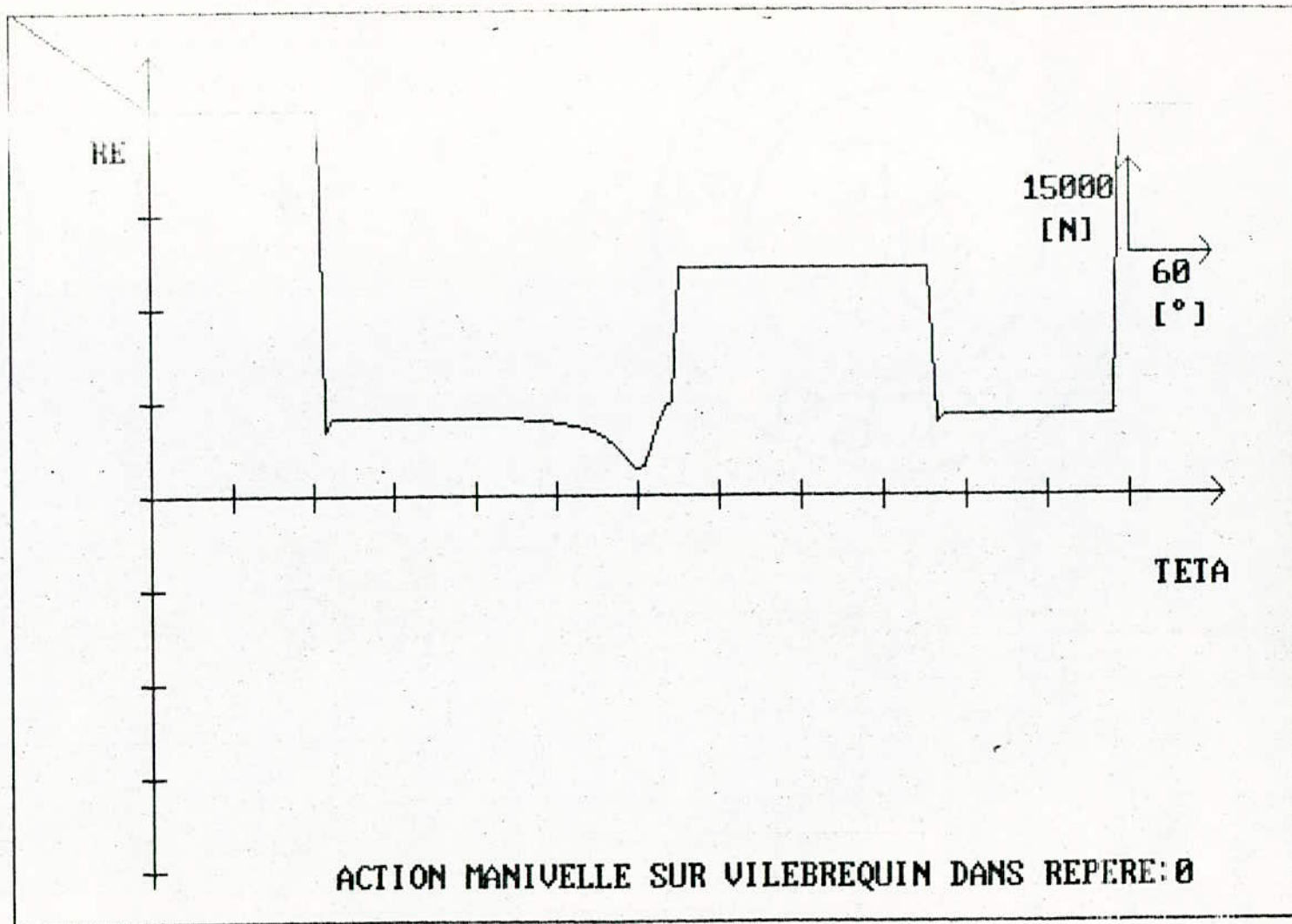
- 10 [REDACTED]
- 2 [REDACTED]
- 3 [REDACTED]
- 4 [REDACTED]
- 5 [REDACTED]
- 6 [REDACTED]
- 7 [REDACTED]
- 8 [REDACTED]
- 9 [REDACTED]
- 0 [REDACTED]



REPERE 1 2 3 4 5 6 7 8 9 10



1 LIST 2 RUN ← 3 LOAD 4 SAVE 5 CONT ← 6 "LPT" 7 TRON ← 8 TROFF ← 9 KEYP 10 STOP



1LIST 2RUN← 3LOAD" 4SAVE" 5CONT← 6,"LPT" 7TRON← 8TROFF 9KEY 0SCREEN

Conclusion.

Cette étude nous a permis de toucher l'intérêt de l'application de la relation fondamentale de la dynamique sous sa forme vectorielle.

Et ainsi, pouvoir étudier mécaniquement tout système évoluant dans l'espace et le temps

et de déterminer les efforts à chaque instant du cycle

Qui permettront par la suite le dimensionnement des différents organes constituant ce système.

Ainsi que la détermination des points de graissage

BIBLIOGRAPHIE

- | | | |
|--|-----------------|---------|
| Mécanique des moteurs alternatifs | B. SWOBODA | 84 |
| | technip | |
| Projet Fin d'étude | Hamidi Laïd | juin 86 |
| | Genie mecanique | |
| Les machines transformatrices
d'énergie | Lemasson | 67 |
| | Delagrave | |
| Sciences et technique du moteur diesel
industriel et de transport T. II | R. BRUN | |
| | Technip | 84 |
| le Langage basique et la nouvelle norme | Eyrolles | |

